

## บทที่ 7

### ผลการทดสอบ

#### 7.1 บทนำ

บทนี้นำเสนอผลการทดสอบของจรวจเปล่งผันกำลังไฟฟ้าแบบบูสต์เรียงต่อกันสามขั้นดังที่นำเสนอการสร้างชุดทดสอบไว้ในบทที่ 6 โดยอาศัยค่าพารามิเตอร์ต่าง ๆ ภายในวงจรที่ได้ออกแบบไว้ในบทที่ 3 และตัวควบคุมฟซซีที่พัฒนาขึ้นเพื่อรักษาแรงดันให้คงที่ตามต้องการดังที่ได้นำเสนอในบทที่ 4 รวมถึงการตรวจจับความผิดพร่องแบบสวิตซ์เปิดวงจร และการสร้างความคงทนต่อความผิดพร่องโดยการสั่งให้สวิตซ์สำรองทำงานแทนทันทีหลังจากตรวจพบความผิดพร่องที่เกิดขึ้น เพื่อให้วงจรสามารถทำงานต่อไปได้อย่างมีประสิทธิผลดังที่นำเสนอในบทที่ 5 ในการแสดงผลการทดสอบของวงจรเปล่งผันกำลังไฟฟ้าแบบบูสต์เรียงต่อกันสามขั้นจะทำการทดสอบภายใต้การเปลี่ยนแปลงจุดการทำงานของแรงดันอ้างอิง แรงดันอินพุต และโหลดตัวต้านทาน ทั้งนี้จะนำเสนอผลตอบสนองของการทำงานของวงจรเมื่อมีการเปลี่ยนแปลงจุดการทำงาน โดยพิจารณาจากแรงดันเอาต์พุต และกระแสที่ไหลผ่านตัวเหนี่ยวนำ เพื่อแสดงให้ว่าตัวควบคุมฟซซีที่พัฒนาขึ้นสามารถควบคุมให้วงจรเปล่งผันกำลังไฟฟ้าแบบบูสต์เรียงต่อกันสามขั้นให้สามารถรักษาแรงดันตามต้องการได้อย่างมีประสิทธิผล รวมถึงการแสดงผลการทดสอบของวงจรเปล่งผันกำลังไฟฟ้าแบบบูสต์เรียงต่อกันสามขั้น เมื่อเกิดความผิดพร่องแบบสวิตซ์เปิดวงจรภายใต้การควบคุมฟซซีที่พัฒนาขึ้น ทั้งนี้ผลการทดสอบจะแสดงการตรวจจับความผิดพร่อง ต่อมาก็เป็นการระบุตำแหน่งความผิดพร่องที่เกิดขึ้นโดยสามารถระบุตำแหน่งความผิดพร่องที่เกิดขึ้นได้อย่างถูกต้อง และสุดท้ายเป็นการสร้างความคงทนต่อความผิดพร่อง เพื่อให้วงจรยังคงสามารถทำงานต่อไปได้อย่างมีประสิทธิผลภายใต้ความผิดพร่องที่เกิดขึ้น

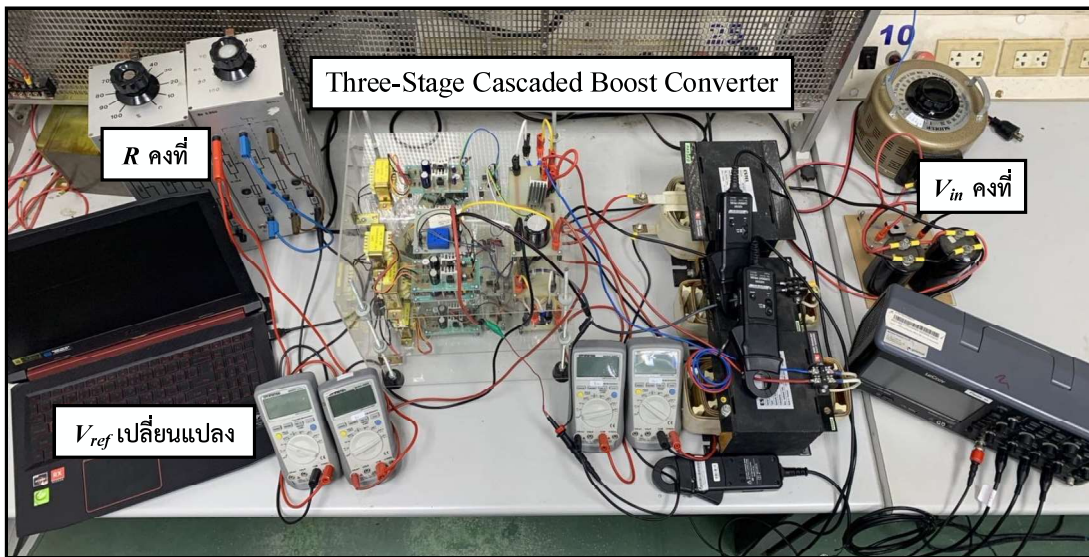
#### 7.2 ผลการทดสอบชุดทดสอบวงจรเปล่งผันกำลังไฟฟ้าแบบบูสต์เรียงต่อกันสามขั้น โดยใช้ตัวควบคุมฟซซีที่พัฒนาขึ้น

การควบคุมแรงดันเอาต์พุตด้วยบอร์ดไมโครคอนโทรเลอร์ DSP รุ่น eZdsp™F28335 เพื่อสร้างสัญญาณการสวิตซ์ทั้งสามตัว โดยอาศัยตัวควบคุมฟซซีที่พัฒนาขึ้นทำการทดสอบเมื่อมีการเปลี่ยนแปลงจุดการทำงานแบ่งออกเป็น 3 กรณี ได้แก่ การเปลี่ยนแปลงแรงดันอ้างอิง แรงดันอินพุต

และโหลดตัวต้านทาน นอกจานนี้ยังได้แสดงผลการเบรียบเทียบผลการทดสอบชุดทดสอบกับผลการจำลองสถานการณ์เพื่อแสดงให้เห็นถึงประสิทธิผลของตัวควบคุมฟซซีที่พัฒนาขึ้นในการรักษาแรงดันเอาร์พุตของวงจรแปลงผันกำลังไฟฟ้าแบบบูสต์เรียงต่อกันสามขั้นให้คงที่ตามต้องการ รายละเอียดการทดสอบวงจรในแต่ละกรณีแสดงดังต่อไปนี้

### 7.2.1 กรณีการปรับเปลี่ยนแรงดันอ้างอิง

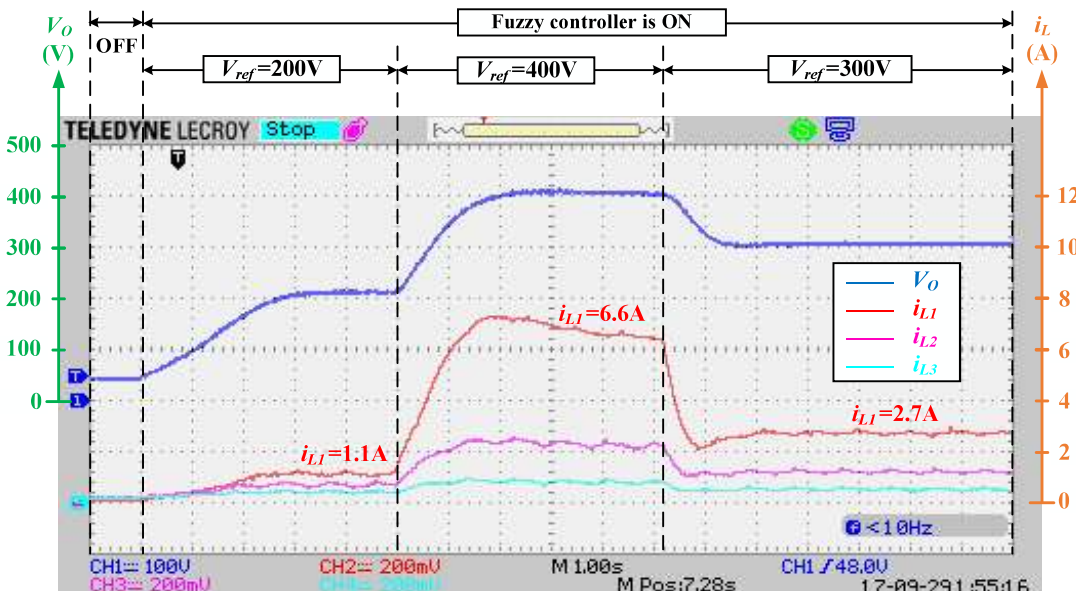
การทดสอบวงจรแปลงผันกำลังไฟฟ้าแบบบูสต์เรียงต่อกันสามขั้นเมื่อมีการปรับเปลี่ยนแรงดันอ้างอิง จะอาศัยชุดทดสอบที่แสดงดังรูปที่ 7.1 ใน การทดสอบจะกำหนดให้แรงดันอ้างอิงเปลี่ยนแปลงซึ่งจะอาศัยการตั้งค่าแรงดันอ้างอิงโดยการโปรแกรมลงในบอร์ดไมโครคอนโทรลเลอร์ DSP รุ่น eZdsp™F28335 โดยแรงดันอ้างอิงจะเปลี่ยนแปลงจาก 200V เป็น 400V หลังจากนั้นเปลี่ยนเป็น 300V ส่วนแรงดันอินพุตจ่ายให้กับวงจรแปลงผันกำลังไฟฟ้าแบบบูสต์เรียงต่อกันสามขั้นคงที่ประมาณ 20V และโหลดตัวต้านทานมีขนาดคงที่ประมาณ 1600Ω ผลการทดสอบวงจรแปลงผันกำลังไฟฟ้าแบบบูสต์เรียงต่อกันสามขั้นเมื่อมีการเปลี่ยนแปลงแรงดันอ้างอิงแสดงได้ดังต่อไปนี้



รูปที่ 7.1 ชุดทดสอบวงจรเมื่อมีการเปลี่ยนแปลงแรงดันอ้างอิง

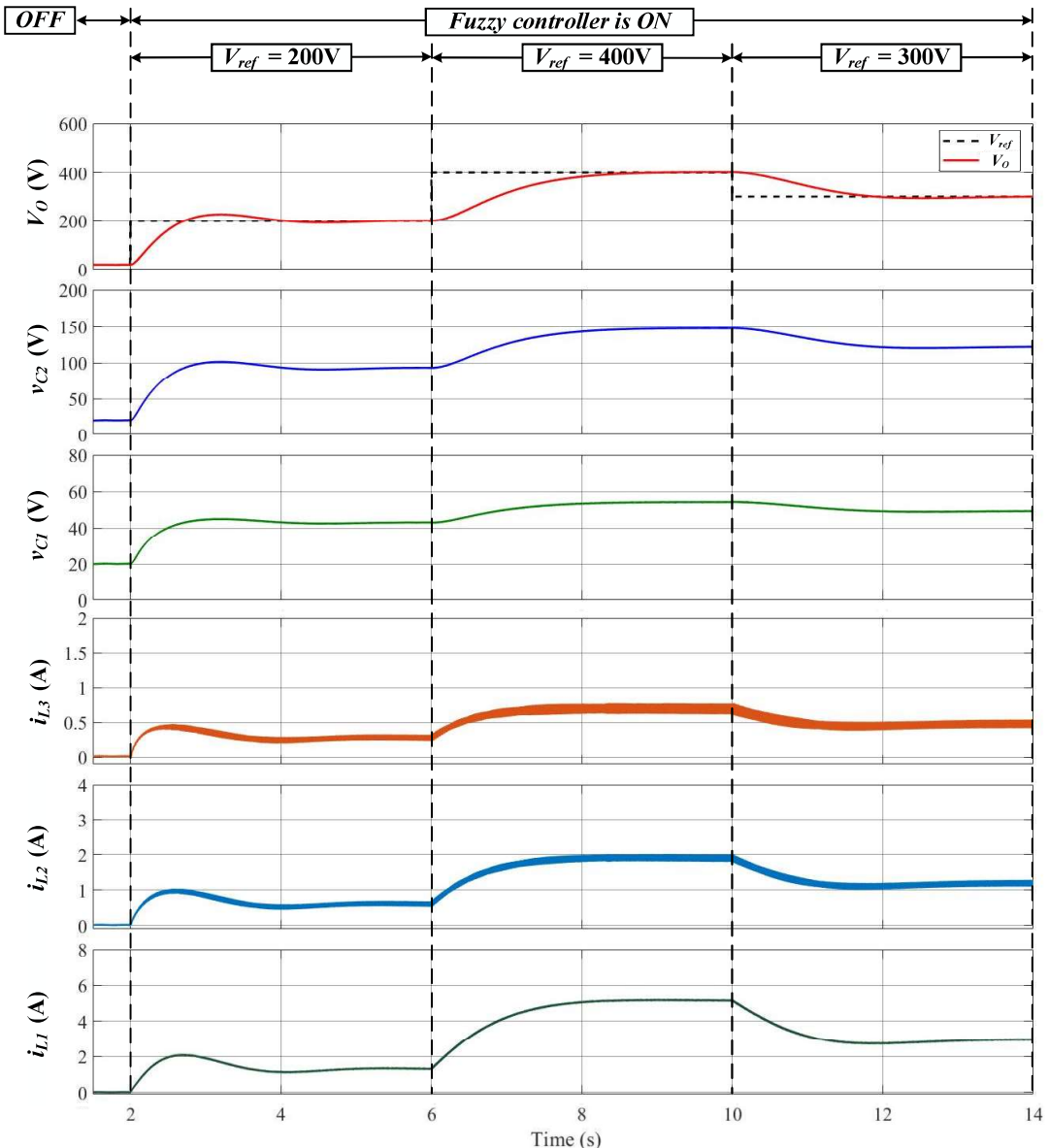
ผลการทดสอบวงจรแปลงผันกำลังไฟฟ้าแบบบูสต์เรียงต่อกันสามขั้นเมื่อมีการปรับเปลี่ยนแรงดันอ้างอิงแสดงดังรูปที่ 7.2 จะเห็นได้ว่าในขณะที่คงค่า  $V_{in}$  ที่ 20V และ  $R$  ที่ 1600Ω การทดสอบจะเปลี่ยนค่า  $V_{ref}$  เป็น 200V, 400V และ 300V โดยขณะที่เริ่มต้นการทำงานของวงจรค่ากระแสที่ไหลผ่านตัวเหนี่ยวนำ จะมีการการพุ่งเกินเล็กน้อย หลังจากนั้นตัวควบคุมฟซซีสามารถควบคุม  $V_o$  ให้คงที่ 200V โดยเข้าสู่สภาวะอยู่ตัววายในเวลาประมาณ 2.8s ส่วน  $i_L$  เพิ่มขึ้นตามค่าแรงดันและคงที่ที่

ประมาณ 1.1A จะเห็นได้ว่าตัวควบคุมฟซซีที่พัฒนาขึ้นสามารถควบคุมค่า  $i_{L1}$  ให้มีค่าความชันตาม  $m_{ref}$  ตามกฎฟซซีที่กำหนดไว้ ต่อจากนั้นที่วินาทีที่ 5 ค่าแรงดัน  $V_{ref}$  เปลี่ยนจาก 200V เป็น 400V จะเห็นได้ว่าตัวควบคุมเพิ่มระดับ  $V_O$  และ  $i_{L1}$  จากเริ่มต้นไปยังสภาวะอยู่ตัวเป็นเวลาประมาณ 1.9s โดยที่มีค่าประมาณ 400 V และ 6.6A ตามลำดับ หลังจากนั้น  $V_{ref}$  ถูกลดลงเป็น 300V และตัวควบคุมฟซซีควบคุม  $V_O$  ไปสู่สภาวะอยู่ตัวใหม่ในเวลาประมาณ 1.2 s



รูปที่ 7.2 ผลการทดสอบวงจรเมื่อมีการเปลี่ยนแปลงแรงดันอ้างอิง

จากผลการทดสอบวงจรเมื่อมีการเปลี่ยนแปลงแรงดันอ้างอิงรูปที่ 7.2 เมื่อนำมาเปรียบเทียบกับผลการจำลองสถานการณ์ตั้งรูปที่ 7.3 พบร่วงผลการจำลองสถานการณ์มีความสอดคล้องกับผลการทดสอบชุดทดสอบ แสดงให้เห็นถึงประสิทธิผลของวงจรแปลงผันกำลังไฟฟ้าแบบสต์เรียงต่อ กันสามารถขับถ่ายได้ตัวควบคุมฟซซีที่พัฒนาขึ้นที่สามารถควบคุม และรักษาแรงดันแรงดันเอาร์พุตตามต้องการ

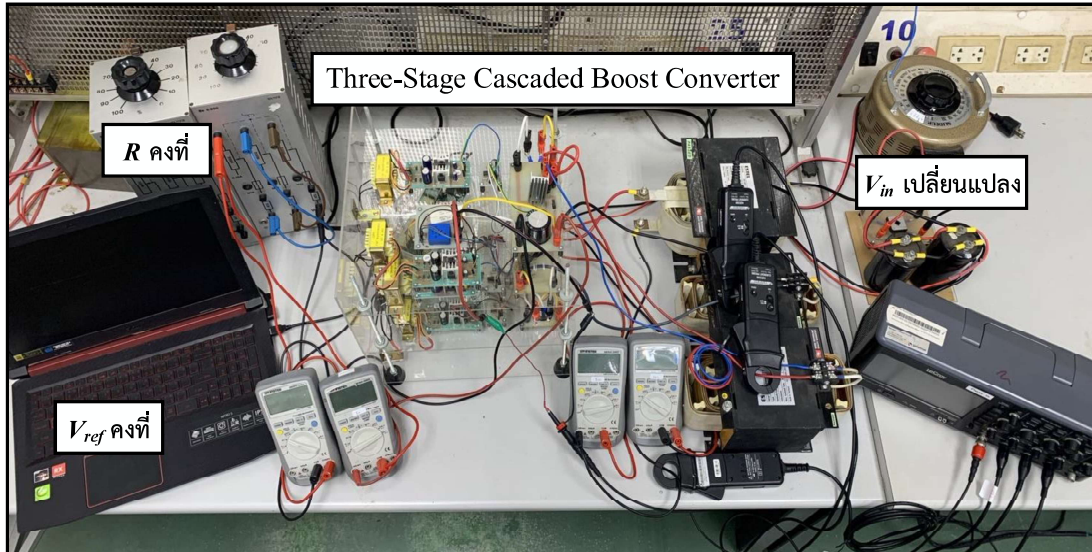


รูปที่ 7.3 ผลการจำลองสถานการณ์ว่างจรเมื่อมีการเปลี่ยนแปลงแรงดันอ้างอิง

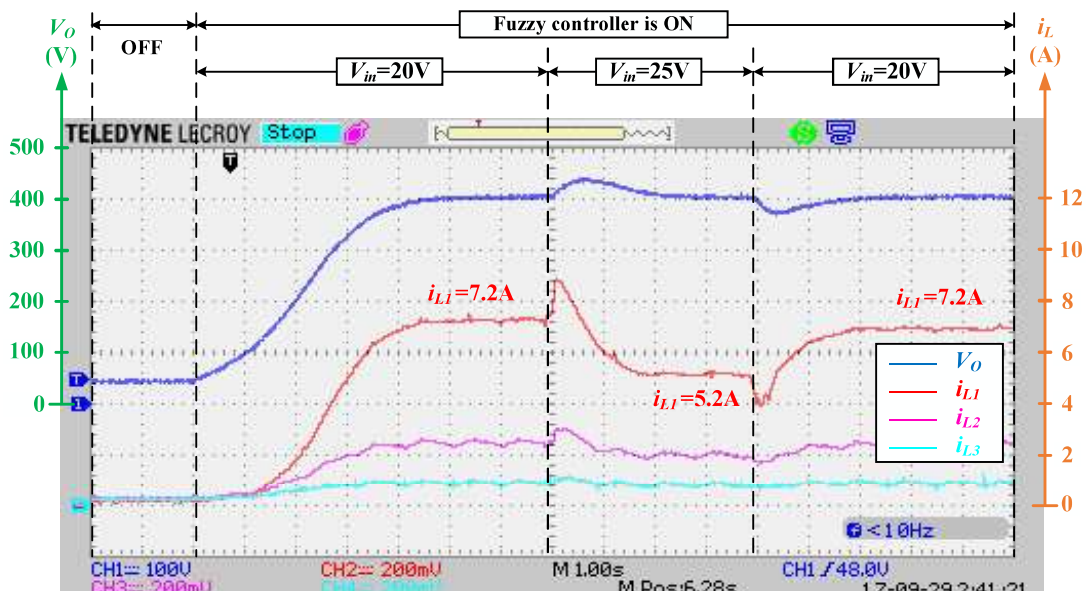
### 7.2.2 กรณีมีการปรับเปลี่ยนแรงดันอินพุต

การทดสอบว่างจรแปลงผันกำลังไฟฟ้าแบบบูสต์เรียงต่อกันสามขั้นเมื่อมีการปรับเปลี่ยนแรงดันอินพุต จะอาศัยชุดทดสอบที่แสดงดังรูปที่ 7.4 ในการทดสอบจะปรับให้แรงดันอินพุตเปลี่ยนแปลง ซึ่งจะอาศัยการปรับวงจรแหล่งจ่ายไฟฟ้ากระแสตรงสำหรับชุดทดสอบมีหม้อแปลงปรับแรงดันหนึ่งเฟส ให้ได้แรงดันอินพุตเพิ่มขึ้นจาก 20V เป็น 25V หลังจากนั้นปรับแรงดันอินพุตลดลงจาก 25V เป็น 20V โดยที่ค่าแรงดันอ้างอิง และโหลดตัวต้านทานมีค่าคงที่ตลอดการทดสอบที่ 400V

และ  $1600\Omega$  ตามลำดับ ผลการทดสอบวงจรแปลงผันกำลังไฟฟ้าแบบบูสต์เรียงต่อกันสามขั้น เมื่อมีการเปลี่ยนแปลงแรงดันอินพุตแสดงได้ดังต่อไปนี้



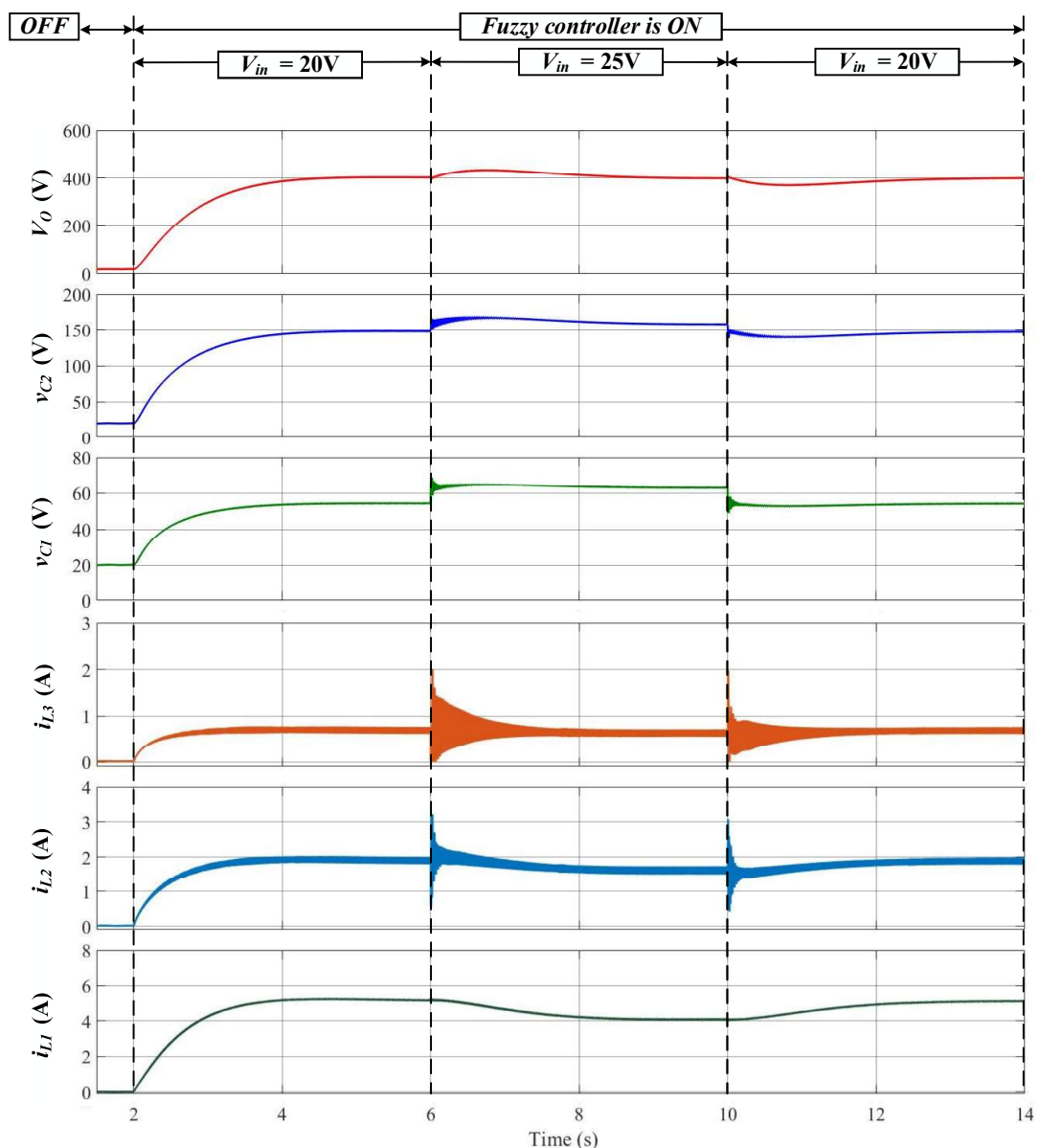
รูปที่ 7.4 ชุดทดสอบวงจรเมื่อมีการเปลี่ยนแปลงแรงดันอินพุต



รูปที่ 7.5 ผลการทดสอบวงจรเมื่อมีการเปลี่ยนแปลงแรงดันอินพุต

ผลการทดสอบวงจรแปลงผันกำลังไฟฟ้าแบบบูสต์เรียงต่อกันสามขั้น เมื่อมีการปรับเปลี่ยนแรงดันอินพุตแสดงดังรูปที่ 7.5 จะพบว่าในช่วงเริ่มต้นการทำงานของวงจรแปลงผัน

กำลังไฟฟ้าแบบบูสต์เรียงต่อ กันสามขั้น โดยมีแหล่งจ่ายแรงดัน  $V_{in}$  ที่ 20V จากรูปแสดงค่า  $V_o$  เพิ่มขึ้นจาก 20V ไปยังแรงดันอ้างอิงคือ 400V ภายในระยะเวลาประมาณ 4.2s ในเวลาเดียวกัน  $i_{L1}$  เพิ่มขึ้น และคงที่ประมาณ 7.2A ที่สภาวะอยู่ตัว หลังจากนั้น  $V_{in}$  ถูกเปลี่ยน 20V เป็น  $V_{in}$  25V ในการเปลี่ยนแปลงค่าแรงดันอินพุตส่งผลให้  $i_{L1}$  และ  $V_o$  เกิดการผุ่งเกินในช่วงเริ่มต้น จากนั้นตัวควบคุมพัชชีทำหน้าที่ควบคุมการทำงานของจ่ายอย่างมีประสิทธิผลโดยสามารถรักษา  $V_o$  ยังคงอยู่ที่ 400V และ  $i_{L1}$  มีค่าสภาวะอยู่ตัวประมาณ 5.2A ต่อมา  $V_{in}$  ถูกลดลงจาก 25V ไปยัง 20V ที่เวลา 10s ทำให้  $i_{L1}$  และ  $V_o$  ลดลงจะเห็นได้ว่าตัวควบคุมพัชชีสามารถควบคุมการทำงานของจ่ายอย่างรวดเร็ว โดยที่  $i_{L1}$  และ  $V_o$  กลับเข้าสู่สถานะตัวคงที่ โดยใช้เวลาประมาณ 1.6 s

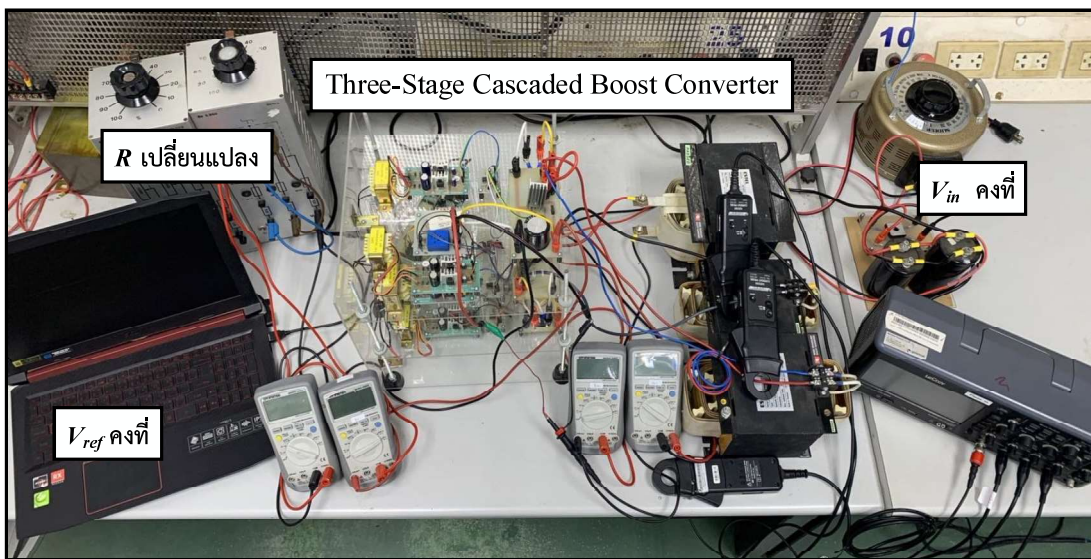


รูปที่ 7.6 ผลการจำลองสถานการณ์ว่างจรเมื่อมีการเปลี่ยนแปลงแรงดันอินพุต

จากผลการทดสอบวงจรเมื่อมีการเปลี่ยนแปลงแรงดันอินพุตดังรูปที่ 7.5 เมื่อเปรียบเทียบกับผลการจำลองสถานการณ์ดังรูปที่ 7.6 พบว่าผลการจำลองสถานการณ์มีความสอดคล้องกับผลการทดสอบชุดทดสอบ แสดงให้เห็นถึงประสิทธิผลของวงจรแปลงผันกำลังไฟฟ้าแบบบูสต์เรียงต่อ กันสามขั้นภายในได้ตัวควบคุมฟ์ซซีที่พัฒนาขึ้น ที่สามารถควบคุม และรักษาระดับแรงดันตามแรงดันอ้างอิงที่ 400V

### 7.2.3 กรณีมีการปรับเปลี่ยนโหลดตัวต้านทาน

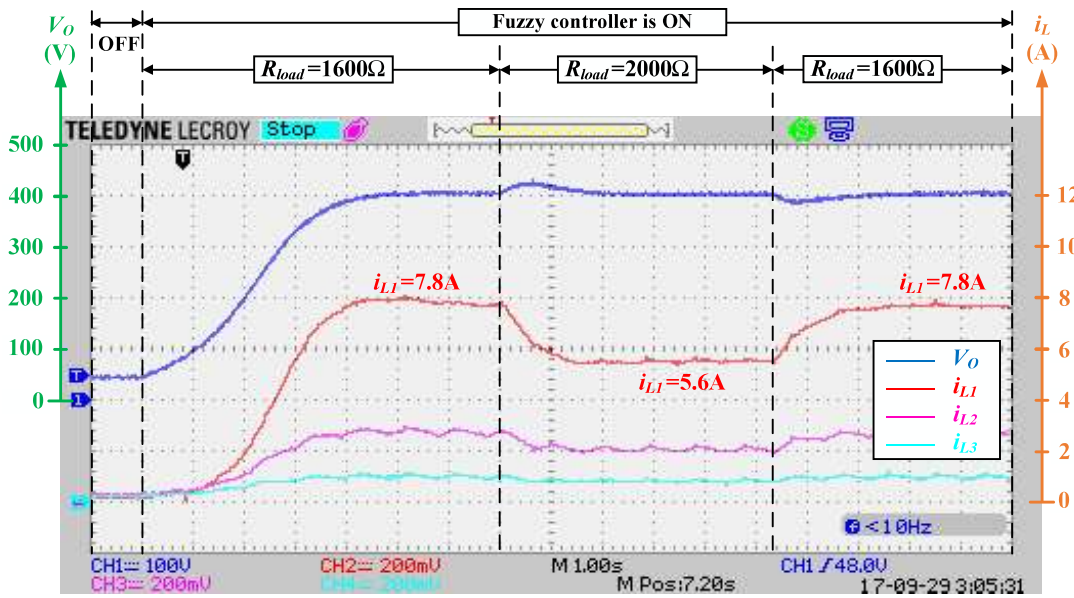
การทดสอบวงจรแปลงผันกำลังไฟฟ้าแบบบูสต์เรียงต่อ กันสามขั้นเมื่อมีการปรับเปลี่ยนโหลดตัวต้านทาน ซึ่งแสดงถึงค่ากำลังไฟฟ้าที่เปลี่ยนแปลงโดยอาศัยชุดทดสอบที่แสดงดังรูปที่ 7.7 ใน การทดสอบจะปรับให้โหลดตัวต้านทานให้เดิมค่าความต้านทานเพิ่มขึ้นจาก 1600Ω เป็น 2000Ω หลังจากนั้นปรับโหลดตัวต้านทานลดลงจาก 2000Ω เป็น 1600Ω โดยที่ค่าแรงดันอ้างอิง และแรงดันอินพุตมีค่าคงที่ตลอดการทดสอบที่ 400V และ 20V ตามลำดับ ผลการทดสอบวงจรแปลงผันกำลังไฟฟ้าแบบบูสต์เรียงต่อ กันสามขั้นเมื่อมีการเปลี่ยนแปลงโหลดตัวต้านทานแสดงได้ดังต่อไปนี้



รูปที่ 7.7 ชุดทดสอบวงจรเมื่อมีการเปลี่ยนแปลงโหลดตัวต้านทาน

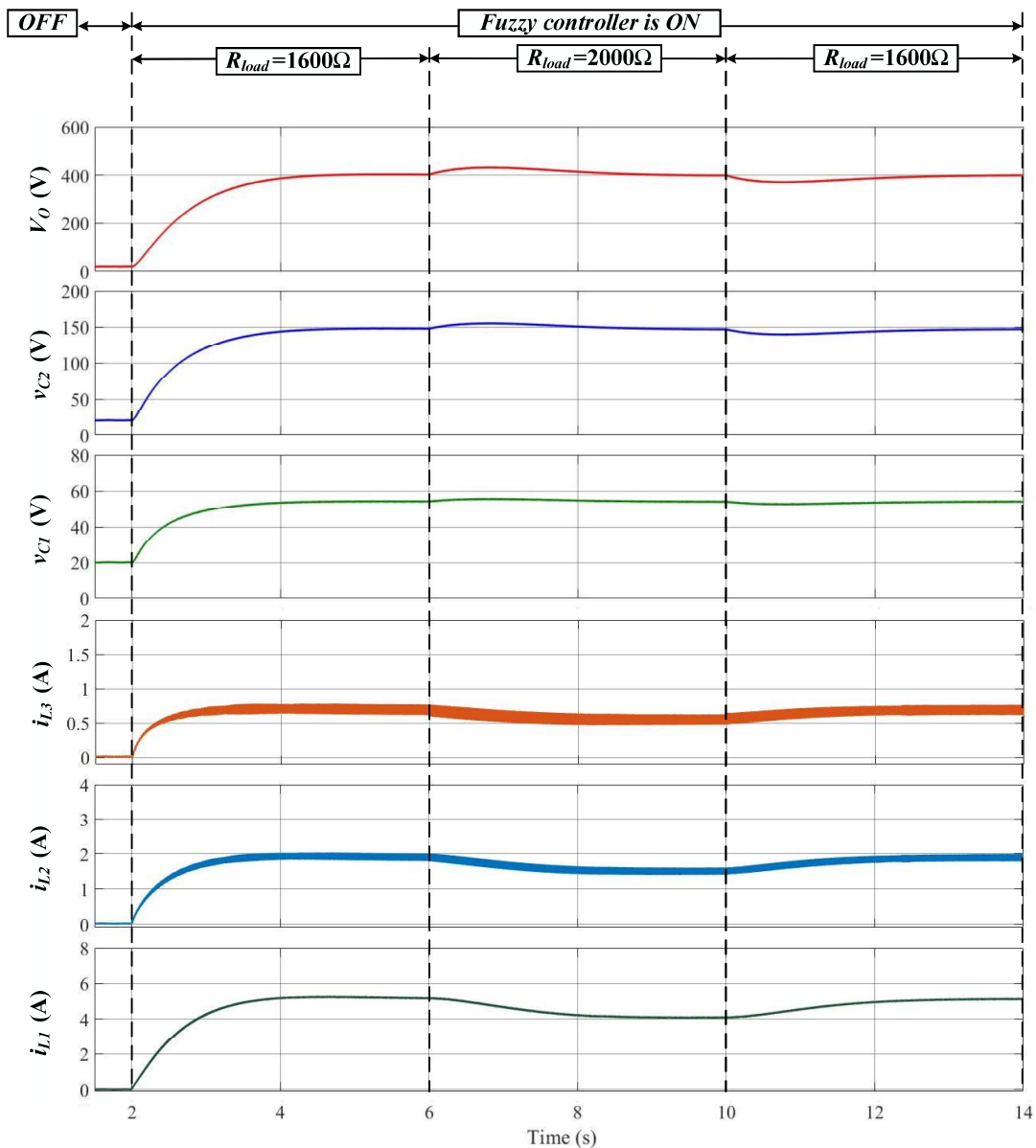
ผลการทดสอบวงจรแปลงผันกำลังไฟฟ้าแบบบูสต์เรียงต่อ กันสามขั้นเมื่อมีการปรับเปลี่ยนโหลดตัวต้านทานแสดงดังรูปที่ 7.8 จะเห็นได้ว่าในช่วงเริ่มต้นตัวควบคุมฟ์ซซีที่พัฒนาขึ้นสามารถควบคุมแรงดัน  $V_O$  จาก 20V ของแรงดันอินพุตเป็น 400V เท่ากับแรงดันอ้างอิงที่สภาวะอยู่ตัวซึ่งใช้เวลาประมาณ 4.2s ส่วน  $i_{L1}$  เพิ่มขึ้น และคงที่ที่ประมาณ 7.8A จากนั้นโหลดตัวต้านทานถูกปรับเพิ่มจาก 1600Ω เป็น 2000Ω ส่งผลให้  $V_O$  เกิดการพุ่งเกิน โดยตัวควบคุมฟ์ซซีสามารถตอบควบคุม  $V_O$

ให้ลดลงเข้าหา  $V_{ref}$  ที่ 400V อีกทั้งยังควบคุมให้  $i_{L1}$  เข้าสู่สภาพอยู่ตัวที่ 5.6A หลังจากนั้นโหลดตัวต้านทานถูกเปลี่ยนจาก  $2000\Omega$  เป็น  $1600\Omega$  ส่งผลให้แรงดัน  $V_O$  ลดลง จากนั้นตัวควบคุมพื้ชซีจะควบคุมแรงดัน  $V_O$  ให้เข้าสู่  $V_{ref}$  ที่ 400 V ส่วน  $i_{L1}$  มีค่าประมาณ 7.8A ที่สภาพอยู่ตัวโดยใช้เวลาประมาณ 1.4s



รูปที่ 7.8 ผลการทดสอบวงจรเมื่อมีการเปลี่ยนแปลงโหลดตัวต้านทาน

จากการเปรียบเทียบผลการทดสอบวงจรจริง กับผลการจำลองสถานการณ์ดังที่แสดงในรูปที่ 7.8 และ 7.9 ตามลำดับ พบว่าทั้งสองผลลัพธ์มีความสอดคล้องกัน ซึ่งยืนยันประสิทธิภาพของวงจรแปลงผันกำลังไฟฟ้าแบบบุสต์เรียงต่อกันสามขั้นภายใต้การควบคุมพื้ชซีในการรักษาแรงดันอ้างอิงที่ 400V แม้ว่าโหลดตัวต้านทานจะมีการเปลี่ยนแปลง

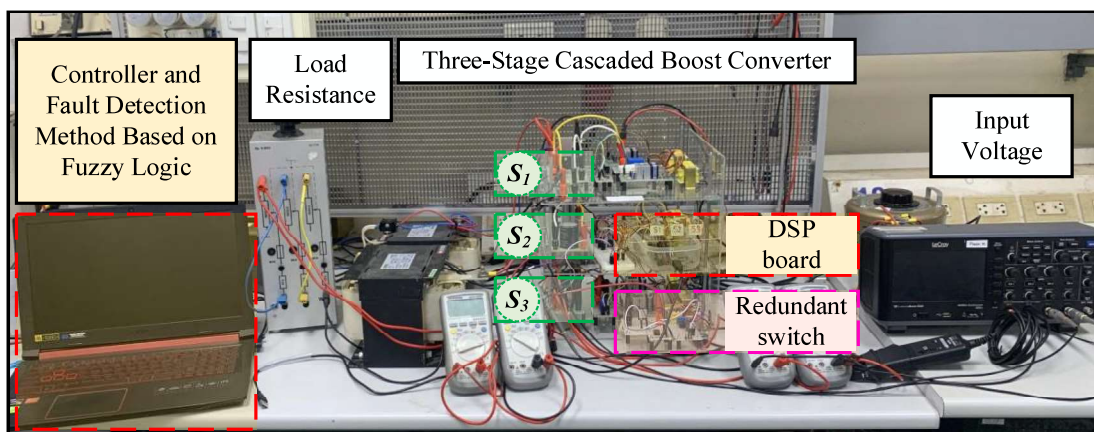


รูปที่ 7.9 ผลการจำลองสถานการณ์เมื่อมีการเปลี่ยนแปลงโหลดตัวต้านทาน

ผลการทดสอบชุดทดลองที่มีตัวควบคุมพื้นที่ภายนอกให้การเปลี่ยนแปลงแรงดันอ้างอิงแรงดันอินพุต และโหลดตัวต้านทาน เมื่อเปรียบเทียบกับผลการจำลองสถานการณ์พบว่ามีความสอดคล้องกันทั้งในสภาวะชั่วครู่และสภาวะอยู่ตัว ซึ่งแสดงให้เห็นถึงประสิทธิภาพของตัวควบคุมพื้นที่ใน การรักษาแรงดันเอาต์พุตของวงจรแปลงผันกำลังไฟฟ้าแบบบูสต์เรียงต่อกันสามขั้น

### 7.3 ผลการทดสอบวงจรที่มีความคงทนต่อความผิดพร่องแบบสวิตช์เปิดวงจร

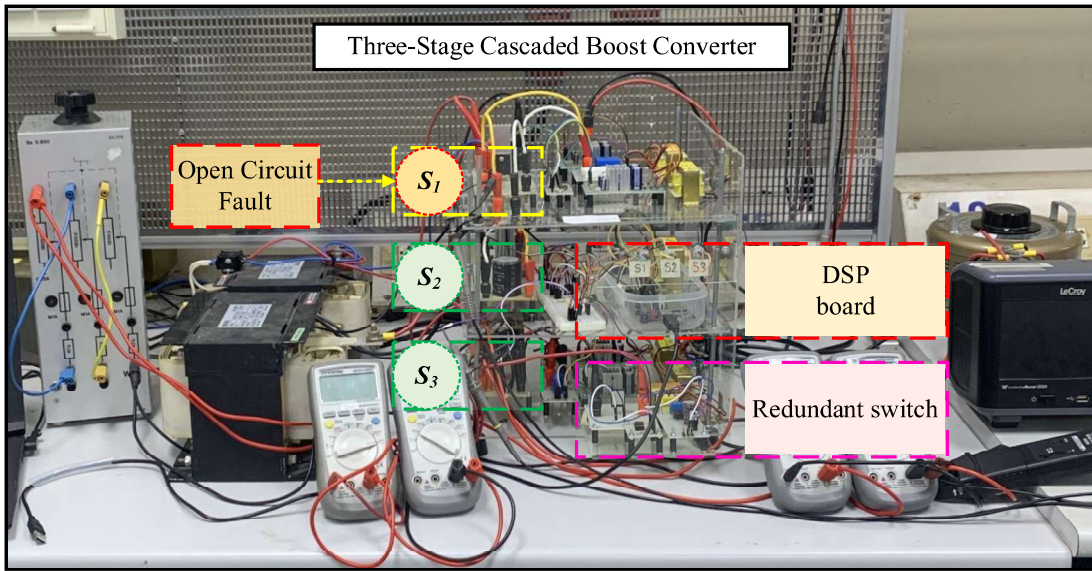
การทดสอบวงจรเมื่อเกิดความผิดพร่องแบบสวิตช์เปิดวงจรจะทำงานร่วมกับการควบคุมแรงดันเอาต์พุตด้วยการเขียนโปรแกรมลงบอร์ดไมโครคอนโทรลเลอร์ DSP รุ่น eZdsp<sup>TM</sup>F28335 แสดงตั้งรูปที่ 7.10 เพื่อสร้างสัญญาณการสวิตช์ทั้งสามตัว สำหรับรักษาแรงดันเอาต์พุตตามต้องการโดยใช้ตัวควบคุมฟัชชีที่พัฒนาขึ้น รวมถึงการสร้างความคงทนต่อความผิดพร่องแบบสวิตช์เปิดวงจรที่ได้พัฒนาขึ้นในบทที่ 5 โดยการทดสอบแบ่งออกเป็น 3 กรณี คือการทดสอบวงจรเมื่อเกิดความผิดพร่องแบบสวิตช์เปิดวงจรที่  $S_1$ ,  $S_2$  และ  $S_3$  ตามลำดับ โดยขั้นตอนการทดสอบแต่ละกรณีจะประกอบไปด้วยการตรวจจับความผิดพร่องที่สามารถระบุตำแหน่งความผิดพร่องที่เกิดขึ้นได้อย่างถูกต้อง และการสร้างความคงทนต่อความผิดพร่อง เมื่อเกิดความผิดพร่องแบบสวิตช์เปิดวงจร จะดำเนินการตรวจจับความผิดพร่องโดยอาศัยวิธีการตรวจจับความผิดพร่องที่พัฒนาขึ้น หลังจากนั้นจะส่งให้สวิตช์สำรองทำงานแทนที่ โดยใช้สัญญาณสถานะความผิดพร่องเพื่อให้วงจรยังคงสามารถทำงานต่อไปได้อย่างมีประสิทธิภาพภายใต้ความผิดพร่องที่เกิดขึ้น โดยทำการเปรียบผลการทดสอบกับผลการจำลองสถานการณ์เพื่อแสดงประสิทธิผลของวิธีการตรวจจับความผิดพร่องแบบสวิตช์เปิดวงจรที่พัฒนาขึ้น



รูปที่ 7.10 ชุดทดสอบวงจรที่มีความคงทนต่อความผิดพร่องแบบสวิตช์เปิดวงจร

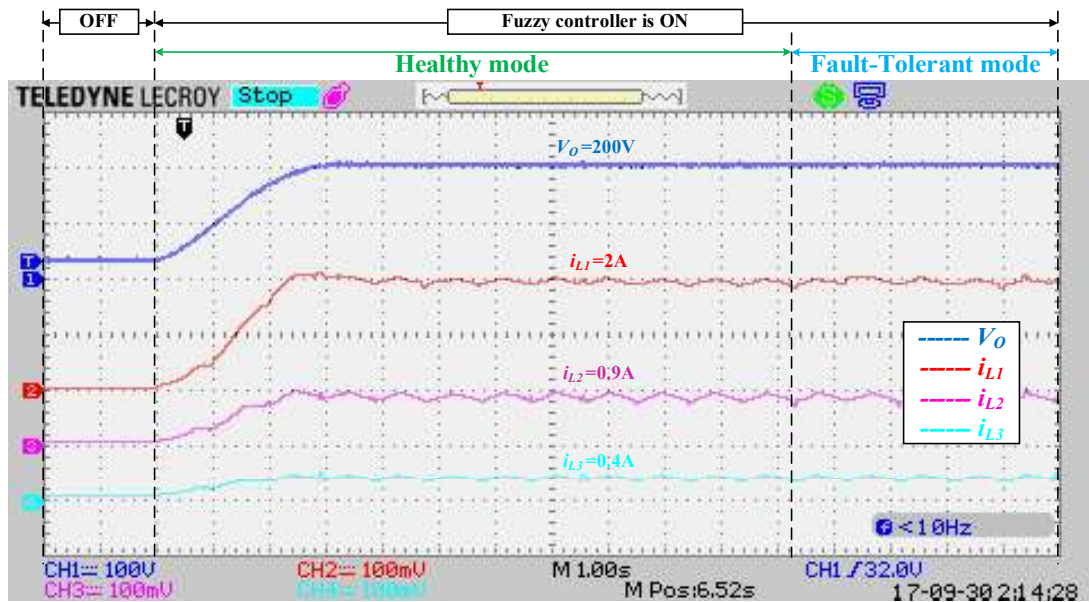
#### 7.3.1 กรณีเกิดความผิดพร่องแบบสวิตช์เปิดวงจรที่ $S_1$

การทดสอบวงรับแบบพลังผันกำลังไฟฟ้าแบบบูสต์เรียงต่อกันสามขั้น เมื่อเกิดความผิดพร่องแบบสวิตช์เปิดวงจรที่  $S_1$  จะอาศัยชุดทดสอบที่แสดงตั้งรูปที่ 7.11 ในการทดสอบจะกำหนดให้แรงดันอ้างอิงคงที่ 200V ซึ่งจะอาศัยการตั้งค่าแรงดันอ้างอิงโดยการโปรแกรมลงในบอร์ดไมโครคอนโทรลเลอร์ DSP รุ่น eZdsp<sup>TM</sup>F28335 ส่วนแรงดันอินพุตจ่ายให้กับวงจรแปลงผันกำลังไฟฟ้าแบบบูสต์เรียงต่อกันสามขั้นคงที่ประมาณ 20V และโหลดตัวต้านทานมีขนาดคงที่ประมาณ 1600Ω



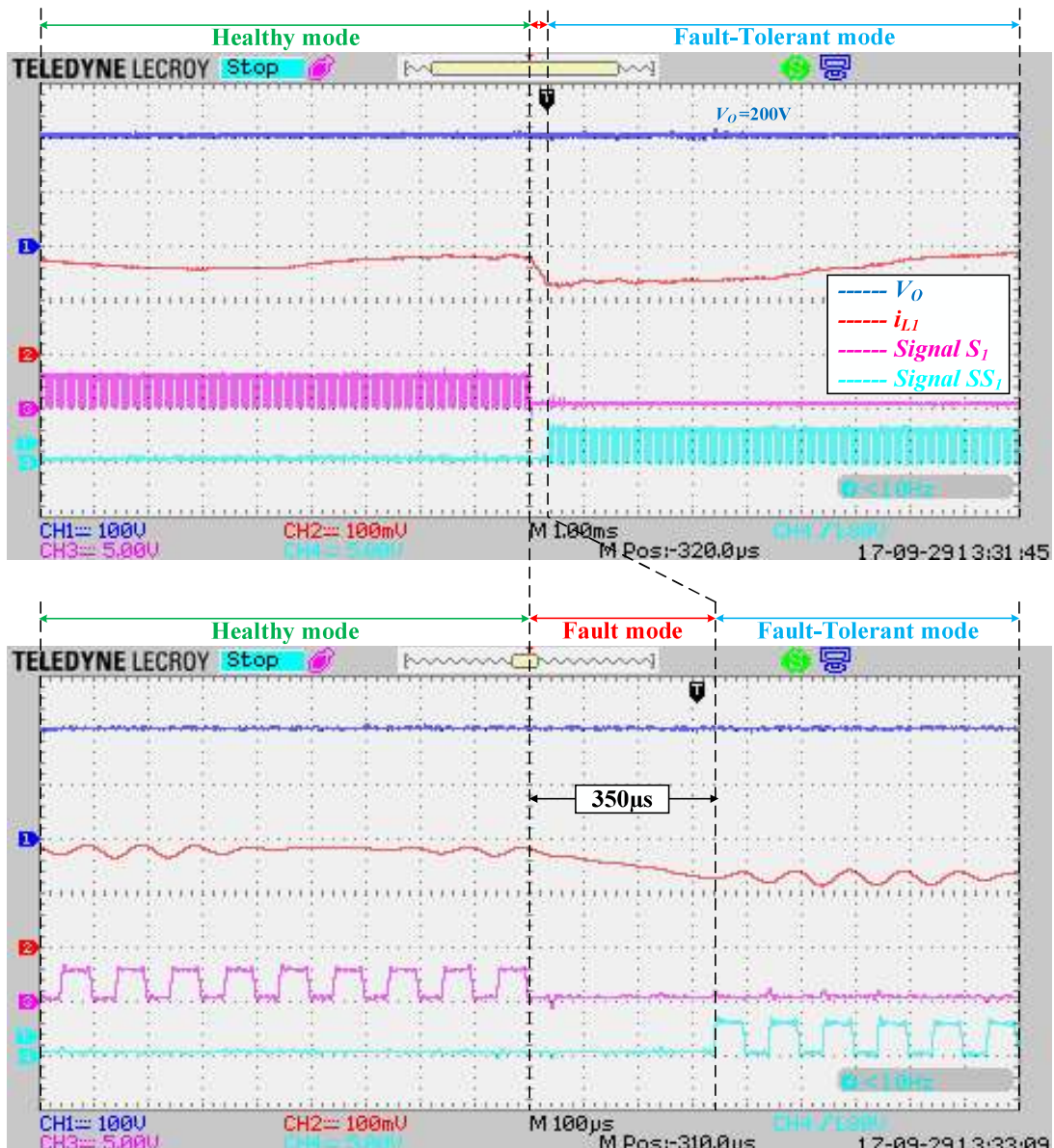
รูปที่ 7.11 ชุดทดสอบวงจรเมื่อเกิดความผิดพร่องแบบสวิตซ์เปิดวงจรที่  $S_1$

ผลการทดสอบวงจรแปลงผันกำลังไฟฟ้าแบบบุสต์เรียงต่อกันสามขั้นเมื่อเกิดความผิดพร้อมกับการสวิตซ์วงจรที่  $S_1$  แสดงให้เห็นในรูปที่ 7.12, 7.13 และ 7.14 รูปที่ 7.12 แสดงแรงดันเอาร์พุต และกระแสผ่านตัวเหนี่ยวนำทั้งสามในช่วงโหมดปกติ ตั้งแต่เริ่มต้นการทำงานจนกระทั่งเกิดความผิดพร่อง สังเกตได้ว่าตัวควบคุมฟซซีที่พัฒนาขึ้นสามารถรักษาแรงดันเอาร์พุตได้สูงสุดที่ 200V และกระแสผ่านตัวเหนี่ยวนำ  $i_{L1}$ ,  $i_{L2}$  และ  $i_{L3}$  เพิ่มขึ้น โดยมีค่าประมาณ 2A, 0.9A และ 0.4A ตามลำดับ หลังจากนั้นที่เวลาประมาณ 11.2s เกิดความผิดพร่องที่สวิตซ์  $S_1$  จะสังเกตได้ว่าแรงดันเอาร์พุต และกระแสผ่านตัวเหนี่ยวนำทั้งสามไม่เปลี่ยนแปลง เนื่องจากสามารถตรวจสอบได้อย่างรวดเร็ว หลังจากนั้นได้ส่งสัญญาณการสวิตซ์ไปยังสวิตซ์สำรอง  $SS_1$  ให้ทำงานทันทีเมื่อตรวจพบความผิดพร่อง ตั้งกล่าว

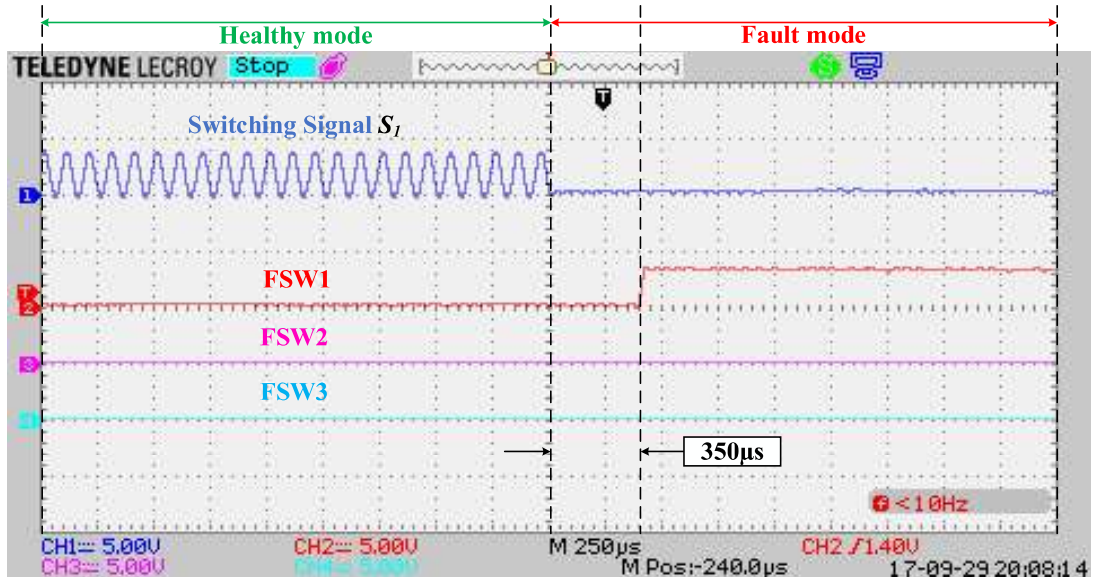


รูปที่ 7.12 ผลการทดสอบวงจรเมื่อกีดความผิดพร่องแบบสวิตช์เปิดวงจรที่  $S_1$

เมื่อพิจารณาผลการทดสอบวงจรรูปที่ 7.13 แสดงค่าแรงดันเอาต์พุต และกระแสผ่านตัวเหนี่ยวนำตัวที่หนึ่ง สัญญาณสวิตช์  $S_1$  และสัญญาณสวิตช์สำรอง  $SS_1$  สังเกตเห็นว่าในช่วงสภาวะปกติ ก่อนกีดความผิดพร่อง แรงดันเอาต์พุต กระแสที่ไหลผ่านตัวเหนี่ยวนำตัวที่หนึ่ง และสัญญาณการสวิตช์ที่  $S_1$  ทำงานตามปกติอยู่ในสภาวะอยู่ตัว หลังจากกีดความผิดพร่อง สงผลให้กระแสผ่านตัวเหนี่ยวนำตัวที่หนึ่ง  $i_{L1}$  ลดลงทันที เมื่อใช้วิธีการตรวจจับความผิดพร่อง แบบสวิตช์เปิดวงจรที่  $S_1$  ที่พัฒนาขึ้นสามารถตรวจจับความผิดพร่องได้อย่างถูกต้องและรวดเร็ว จากนั้นดำเนินการส่งสัญญาณการสวิตช์ให้กับสวิตช์สำรอง  $SS_1$  ทำงานแทน นอกจากนี้ผลการทดสอบในรูปที่ 7.14 แสดงสัญญาณสวิตช์ของ  $S_1$  และสัญญาณตรวจจับความผิดพร่องของสวิตช์ทั้งสามตัว ( $FSW_1$ ,  $FSW_2$ ,  $FSW_3$ ) ซึ่งพบว่าในช่วงสภาวะปกติก่อนกีดความผิดพร่อง สัญญาณสวิตช์  $S_1$  ยังคงมีสัญญาณพัลส์ปกติ ส่วนสัญญาณตรวจจับความผิดพร่องของสวิตช์ทั้งสามตัวยังคงค่าเป็นศูนย์ แต่หลังจากกีดความผิดพร่องแบบสวิตช์เปิดวงจรที่  $S_1$  โดยสัญญาณสวิตช์  $S_1$  จะมีค่าเป็นศูนย์ ส่วนสัญญาณตรวจจับความผิดพร่องของสวิตช์ที่  $S_1$  ( $FSW_1$ ) จะแสดงค่าเป็น 1 ผลตอบสนองที่เกิดขึ้นจึงส่งผลให้สามารถตรวจจับความผิดพร่องได้ และส่งสัญญาณการสวิตช์ให้กับสวิตช์สำรอง  $SS_1$  ทำงานแทนดังแสดงในรูปที่ 7.14 ในกระบวนการตรวจจับความผิดพร่องแบบสวิตช์เปิดวงจรที่  $S_1$  จะใช้เวลาเพียง 350μs หรือ 0.35ms ส่งผลให้วงจรแปลงผันกำลังไฟฟ้าแบบบูสต์เรียงต่อ กันสามขั้นทำงานได้อย่างต่อเนื่องอย่างมีประสิทธิผลในหมวดความคงทนต่อความผิดพร่อง (Fault-tolerant mode)

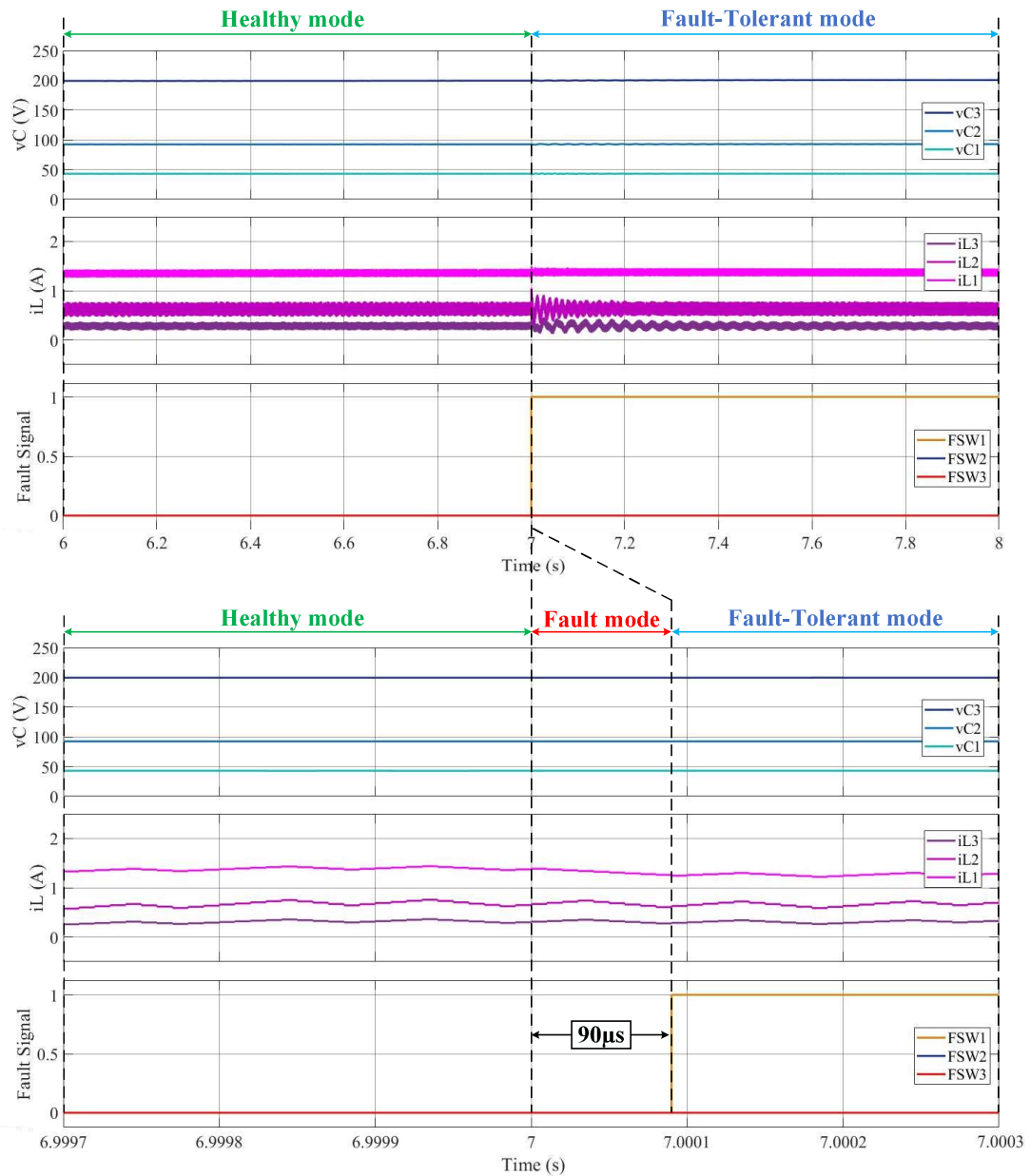


รูปที่ 7.13 ค่าแรงดันเอาต์พุต กระแสผ่านตัวเหนี่ยวนำตัวที่หนึ่ง และสัญญาณการสวิตช์เมื่อเกิดความผิดพร่องแบบสวิตช์เปิดวงจรที่  $S_1$



รูปที่ 7.14 สัญญาณการสวิตช์ และสัญญาณการตรวจจับความผิดพร่องเมื่อเกิดความผิดพร่องแบบ  
สวิตช์เปิดวงจรที่  $S_1$

จากการทดสอบของเครื่องมือที่ได้แสดงไว้ข้างต้นเมื่อนำมาเปรียบเทียบกับผลการจำลองสถานการณ์ในรูปที่ 7.15 พบร่วมกันของการจำลองสถานการณ์สามารถตรวจจับความผิดพร่องได้อย่างรวดเร็ว กว่าผลการทดสอบโดยใช้เวลาประมาณ 90μs หรือ 0.09ms ซึ่งความคลาดเคลื่อนนี้อาจเกิดจากอุปกรณ์ต่าง ๆ ภายในชุดทดสอบ และตัวตรวจจับกระแสอย่างไรก็ตามผลการจำลองสถานการณ์ยังคงมีความสอดคล้องกับผลการทดสอบชุดทดสอบ แสดงให้เห็นถึงประสิทธิผลของการสร้างความคงทนต่อความผิดพร่อง ที่สามารถตรวจจับความผิดพร่องที่เกิดขึ้นอย่างรวดเร็วและถูกต้อง ทำให้วงจรแปลงผันกำลังไฟฟ้าแบบบุสต์เรียงต่อกันสามขั้น เมื่อเกิดความผิดพร่องที่  $S_1$  ที่ได้แสดงไว้ข้างต้นเมื่อนำมาเปรียบเทียบกับผลการจำลองสถานการณ์ในรูปที่ 7.15 พบร่วมกันของการจำลองสถานการณ์สามารถตรวจจับความผิดพร่องได้อย่างรวดเร็ว กว่าผลการทดสอบโดยใช้เวลาประมาณ 90μs หรือ 0.09ms ซึ่งความคลาดเคลื่อนนี้อาจเกิดจากอุปกรณ์ต่าง ๆ ภายในชุดทดสอบ และตัวตรวจจับกระแสอย่างไรก็ตามผลการจำลองสถานการณ์ยังคงมีความสอดคล้องกับผลการทดสอบชุดทดสอบ แสดงให้เห็นถึงประสิทธิผลของการสร้างความคงทนต่อความผิดพร่อง ที่สามารถตรวจจับความผิดพร่องที่เกิดขึ้นอย่างรวดเร็วและถูกต้อง ทำให้วงจรแปลงผันกำลังไฟฟ้าแบบบุสต์เรียงต่อกันสามขั้นสามารถทำงานอย่างต่อเนื่องในโหมดความคงทนต่อความผิดพร่อง (Fault-tolerant mode) ได้อย่างมีประสิทธิผล

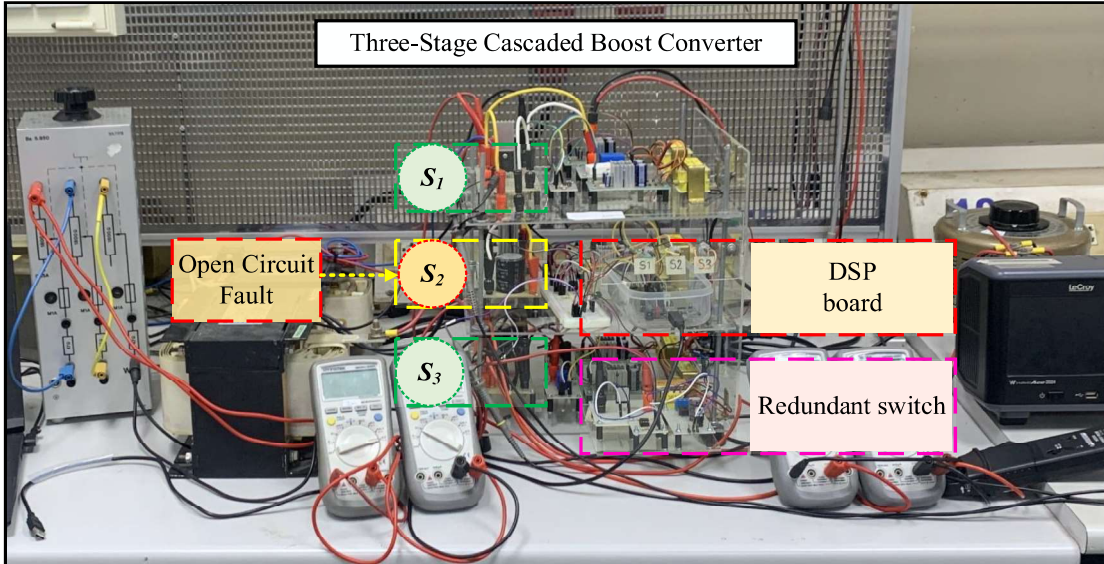


รูปที่ 7.15 ผลการจำลองสถานการณ์เมื่อเกิดความผิดพร่องแบบสวิตช์เปิดวงจรที่  $S_1$  ภายใต้สภาวะคงทันต่อความผิดพร่อง

### 7.3.2 กรณีเกิดความผิดพร่องแบบสวิตช์เปิดวงจรที่ $S_2$

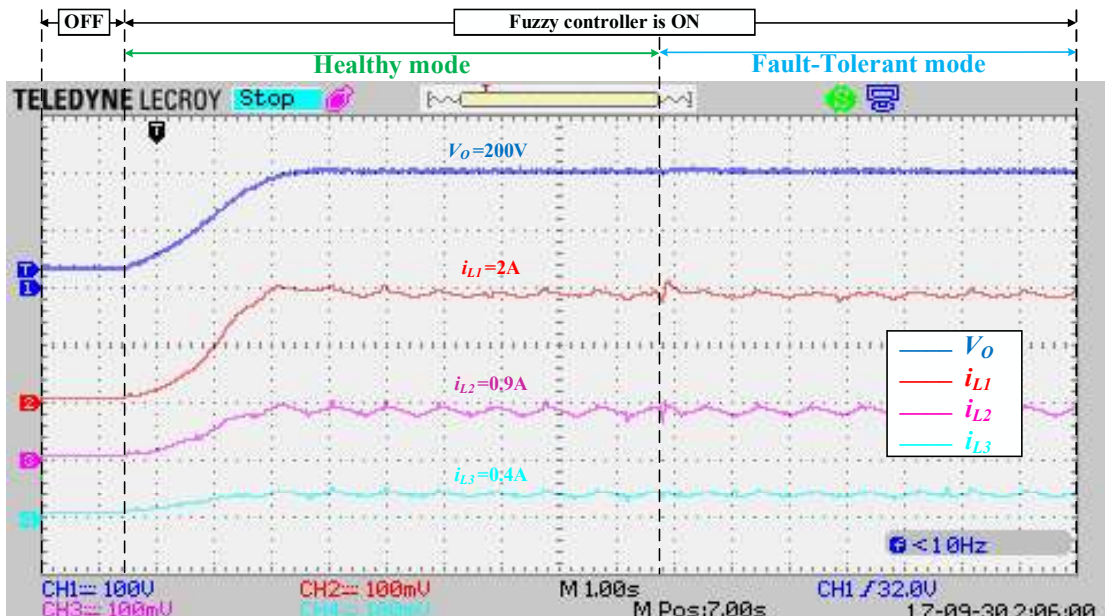
การทดสอบวงจรแเปลงพันกำลังไฟฟ้าแบบบูสต์เรียงต่อกันสามขั้น เมื่อเกิดความผิดพร่องแบบสวิตช์เปิดวงจรที่  $S_2$  จะอาศัยชุดทดสอบที่แสดงตั้งรูปที่ 7.16 ในการทดสอบจะกำหนดให้แรงดันอ้างอิงคงที่ 200V ซึ่งจะอาศัยการตั้งค่าแรงดันอ้างอิงโดยการโปรแกรมลงในบอร์ดไมโครคอน

ໂທຣເລອ່ງ DSP ຈຸນ eZdsp<sup>TM</sup>F28335 ສ່ວນແຮງດັນອິນພຸຕູຈ່າຍໃຫ້ກັບວະຈົບແປລັງຜັນກຳລັງໄຟຟ້າແບບບຸສົດ  
ເຮັດວຽກຕ້ອງກັນສາມຂັ້ນຄົງທີ່ປະມານ 20V ແລະ ໂໂຫດຕົວຕ້ານທານມີຂາດຄົງທີ່ປະມານ 1600Ω



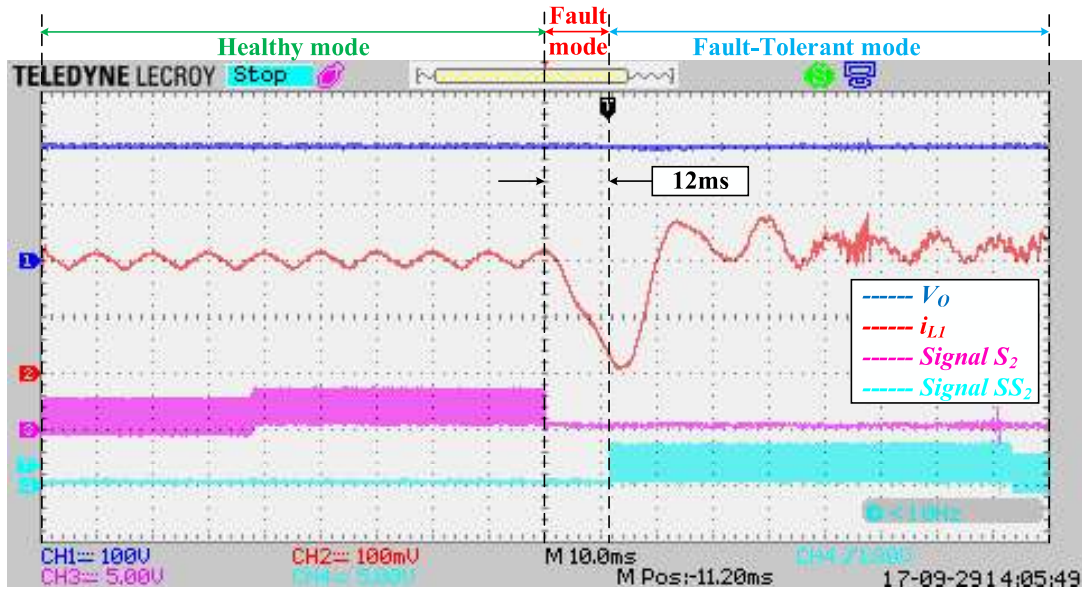
ຮູບທີ 7.16 ທຸດທະສອບວະຈົບແປລັງຜັນກຳລັງໄຟຟ້າແບບບຸສົດເຮັດວຽກຕ້ອງກັນສາມຂັ້ນເມື່ອເກີດຄວາມພິດພ່ອງແບບສົງໄປດ້ວງຈົງທີ່  $S_2$

ຜລກາທຸດສອບວະຈົບແປລັງຜັນກຳລັງໄຟຟ້າແບບບຸສົດເຮັດວຽກຕ້ອນສາມຂັ້ນເມື່ອເກີດຄວາມພິດພ່ອງແບບສົງໄປດ້ວງຈົງທີ່  $S_2$  ຖຸກແສດງໃນກາພທີ 7.17, 7.18 ແລະ 7.19 ໂດຍຮູບທີ 7.17 ແສດງຄ່າແຮງດັນເອົາຕົວພຸຕູ ແລະ ກະຮະແສທີ່ໄຫລຝ່ານຕົວແນ່ຍ່ວນນຳທັງສາມຕົວຂອງທຸດທະສອບວະຈົບໃນໂໜ່ມດກາທໍາງນາມປົກຕິ (Healthy Mode) ຕັ້ງແຕ່ທຸດທະສອບເຮີມທຳມາຈະເຫັນວ່າຕົວກຸມສາມາຮັດເພີ່ມຮະດັບແຮງດັນເອົາຕົວພຸຕູ ແລະ ກະຮະແສທີ່ໄຫລຝ່ານຕົວແນ່ຍ່ວນນຳໄດ້ຕາມທີ່ຕ້ອງການ ພັດຈານນັ້ນເມື່ອເກີດຄວາມພິດພ່ອງແບບສົງໄປດ້ວງຈົງທີ່  $S_2$  ຈະສັງເກົດໄດ້ວ່າຄ່າແຮງດັນເອົາຕົວພຸຕູ ແລະ ກະຮະແສທີ່ໄຫລຝ່ານຕົວແນ່ຍ່ວນນຳທັງສາມຕົວມີການເປີ່ຍິນແປລັງເລັກນ້ອຍ ສາມາຮັດຕຽບຈັບຄວາມພິດພ່ອງແບບສົງໄປດ້ວງຈົງທີ່  $S_2$  ແລະ ສັງສັນຍຸ້ານການສົງໄປດ້ວງຈົງທີ່ໄກ້ກັບສົງໄປດ້ວງຈົງທີ່  $S_2$  ທຳມະນຸດທີ່ມີຕົວຢ່າງພົບຄວາມພິດພ່ອງໄດ້

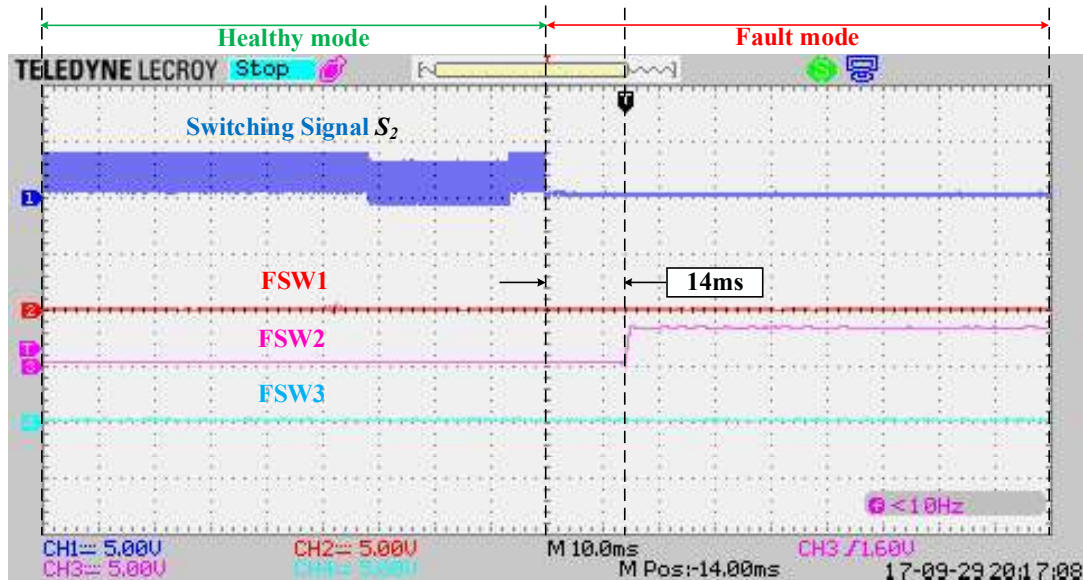


รูปที่ 7.17 ผลการทดสอบวงจรเมื่อเกิดความผิดพร่องแบบสวิตช์เปิดวงจรที่  $S_2$

เมื่อพิจารณาผลการทดสอบวงจรในรูปที่ 7.18 ซึ่งแสดงค่าแรงดันเออต์พุต และกระแสที่ไหลผ่านตัวเหนี่ยวนำตัวที่หนึ่ง และสัญญาณการสวิตช์  $S_2$  และสัญญาณการสวิตช์สำหรับสวิตช์สำรอง  $SS_2$  จะเห็นว่าในสภาวะปกติก่อนเกิดความผิดพร่อง แรงดันเออต์พุต กระแสที่ไหลผ่านตัวเหนี่ยวนำตัวที่หนึ่ง และสัญญาณการสวิตช์ที่  $S_2$  ทำงานตามปกติอยู่ในสภาวะอยู่ตัว หลังจากเกิดความผิดพร่องนั้น กระแส  $i_{L1}$  มีการเปลี่ยนแปลงอย่างเห็นได้ชัด ทำให้ความชัน  $m_{i_{L1}}$  มีค่าติดลบ ซึ่งผลตอบสนองดังกล่าว เป็นตัวบ่งชี้ถึงกระบวนการตรวจสอบความผิดพร่องแบบสวิตช์เปิดวงจรที่  $S_2$  ที่ทำได้ทันที และสังสัญญาณการสวิตช์ให้กับสวิตช์สำรอง  $SS_2$  เพื่อทำหน้าที่แทน เมื่อพิจารณาผลการทดสอบวงจรในรูปที่ 7.19 ซึ่งแสดงสัญญาณการสวิตช์  $S_2$  และสัญญาณการตรวจสอบความผิดพร่อง  $FSW_1$ ,  $FSW_2$  และ  $FSW_3$  พบร่วมกับ สภาวะปกติก่อนเกิดความผิดพร่อง สัญญาณการสวิตช์  $S_2$  ยังคงมีสัญญาณพัลส์ปกติ ส่วนสัญญาณการตรวจสอบความผิดพร่องของสวิตช์ทั้งสามตัวมีค่าเป็นศูนย์ หลังจากเกิดความผิดพร่องที่สวิตช์  $S_2$  พบร่วมกับ สัญญาณการสวิตช์  $S_2$  จะมีค่าเป็นศูนย์ ส่วนสัญญาณการตรวจสอบความผิดพร่อง  $FSW_1$ ,  $FSW_2$  และ  $FSW_3$  จะมีค่าเป็น 0, 1 และ 0 ตามลำดับ ซึ่งแสดงถึงการเกิดความผิดพร่องแบบสวิตช์เปิดวงจรที่  $S_2$  และสังสัญญาณการสวิตช์ให้กับสวิตช์สำรอง  $SS_2$  เพื่อทำหน้าที่แทน ในกระบวนการตรวจสอบความผิดพร่องแบบบูสต์เรียงต่อกันสามขั้นทำงานได้ต่อเนื่องอย่างมีประสิทธิผลในโหมดความคงทนต่อความผิดพร่อง



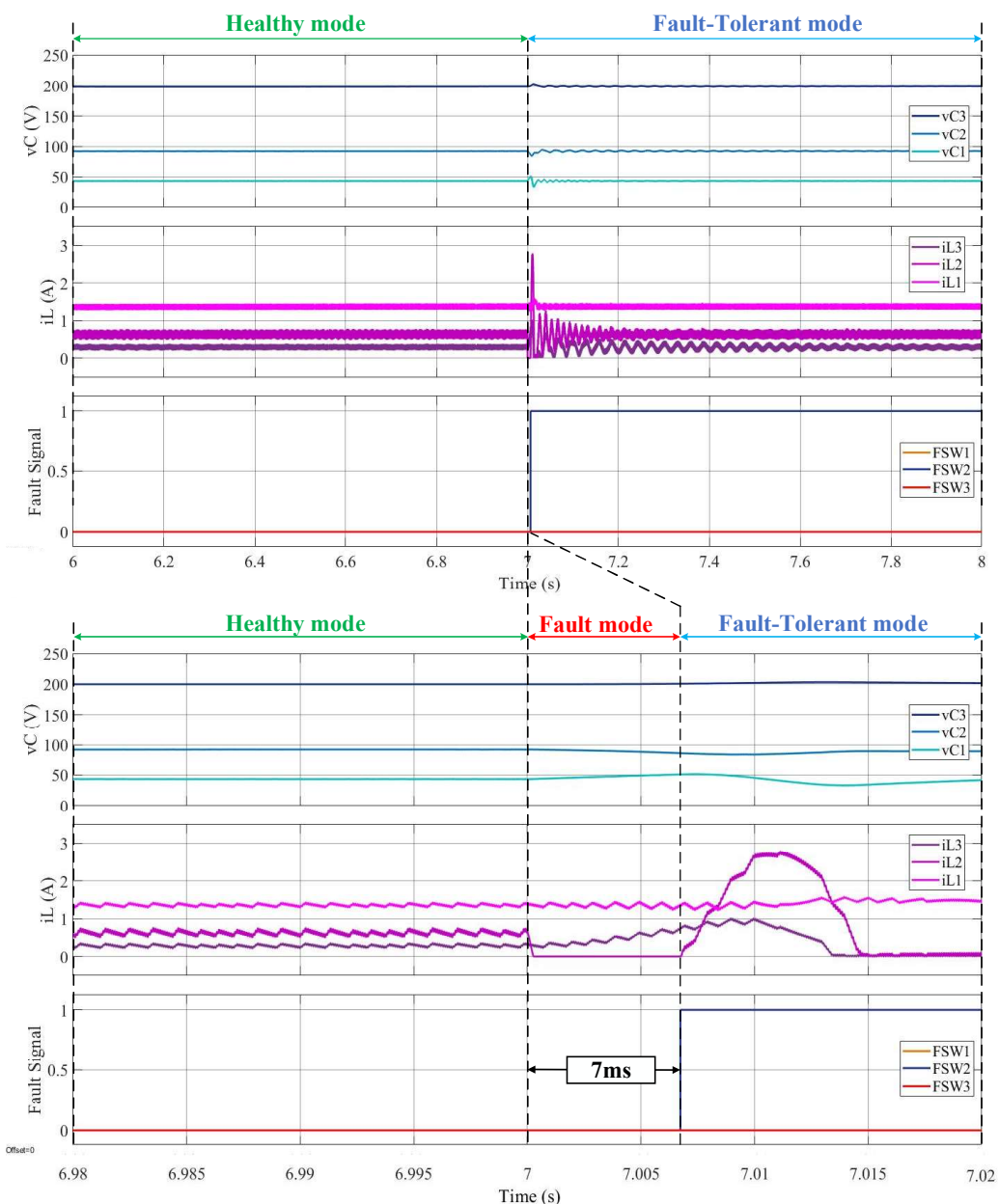
รูปที่ 7.18 แรงดันเอาต์พุต กระแสผ่านตัวเหนี่ยวนำตัวที่หนึ่ง และสัญญาณการสวิตช์เมื่อเกิดความผิดพร่องแบบสวิตช์เปิดวงจรที่  $S_2$



รูปที่ 7.19 สัญญาณการสวิตช์ และสัญญาณการตรวจจับความผิดพร่องเมื่อเกิดความผิดพร่องแบบสวิตช์เปิดวงจรที่  $S_2$

จากการทดสอบพบว่ารูปแบบเปล่งผ้นกำลังไฟฟ้าแบบบูสต์เรียงต่อกันสามขั้น เมื่อเกิดความผิดพร่องแบบการเปิดวงจรที่  $S_2$  ตามที่ได้แสดงไว้ข้างต้น เมื่อเทียบกับผลการจำลองสถานการณ์

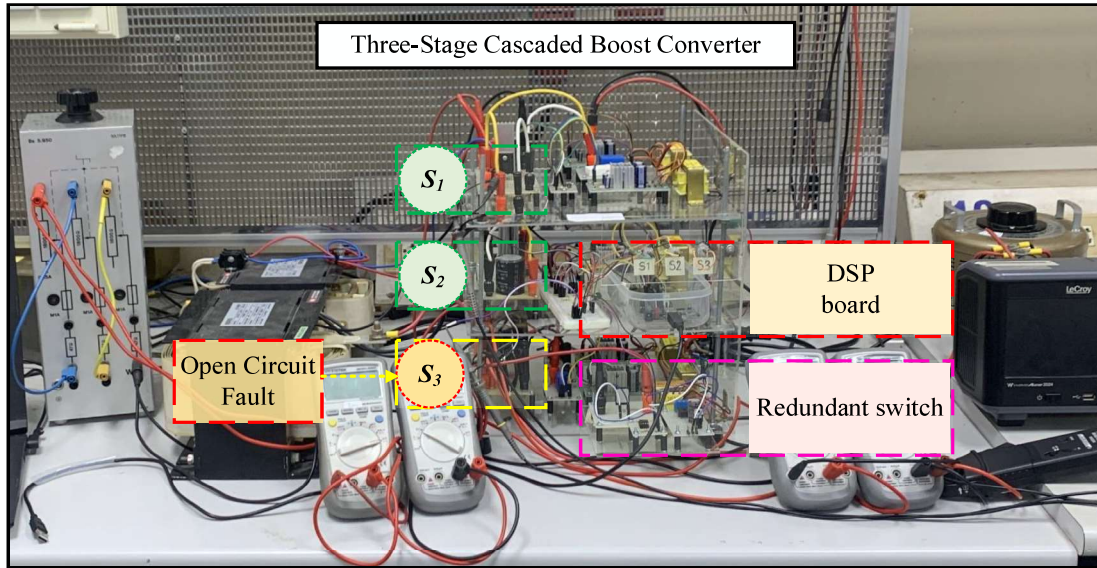
ที่แสดงในรูปที่ 7.20 จะพบว่าผลการจำลองสถานการณ์สามารถตรวจสอบจับความผิดพร่องได้เร็วกว่าผลการทดสอบจริง โดยใช้เวลาประมาณ 7ms ความคลาดเคลื่อนอาจเกิดขึ้นได้จากอุปกรณ์ต่าง ๆ ในชุดทดสอบอย่างไรก็ตามผลการจำลองสถานการณ์ยังคงมีความคล้ายคลึงกับผลการทดสอบจริงในชุดทดสอบ แสดงให้เห็นถึงประสิทธิผลในการสร้างความคงทนต่อความผิดพร่อง ซึ่งสามารถตรวจสอบจับความผิดพร่องที่เกิดขึ้นอย่างรวดเร็วและถูกต้อง ทำให้งานทำงานอย่างต่อเนื่องได้อย่างมีประสิทธิผล



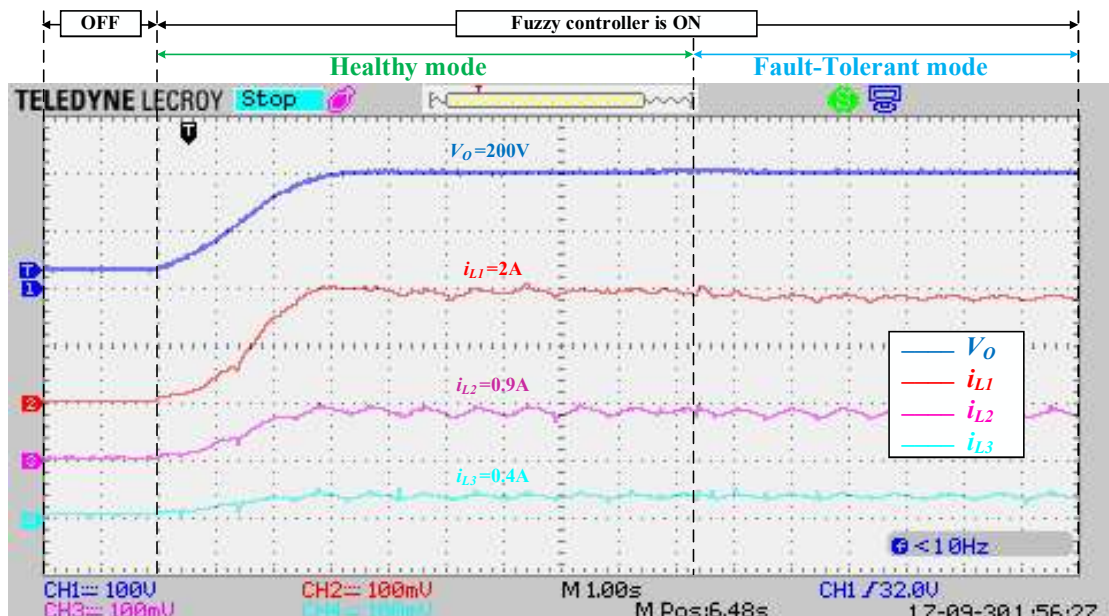
รูปที่ 7.20 ผลการจำลองสถานการณ์เมื่อเกิดความผิดพร่องแบบสวิตช์เปิดวงจรที่  $S_2$  ภายใต้สภาวะคงทนต่อความผิดพร่อง

### 7.3.3 กรณีเกิดความผิดพร่องแบบสวิตช์เปิดวงจรที่ $S_3$

การทดสอบวงจรแปลงผันกำลังไฟฟ้าแบบบูสต์เรียงต่อกันสามขั้นเมื่อเกิดความผิดพร่องแบบสวิตช์เปิดวงจรที่  $S_3$  ดำเนินการโดยใช้ชุดทดสอบตามรูปที่ 7.21 โดยกำหนดแรงดันอ้างอิงที่ 200V ผ่านการตั้งค่าในบอร์ดไมโครคอนโทรลเลอร์ DSP รุ่น eZdsp™F28335 และใช้แรงดันอินพุตคงที่ 20V พร้อมโหลดตัวต้านทาน  $1600\Omega$

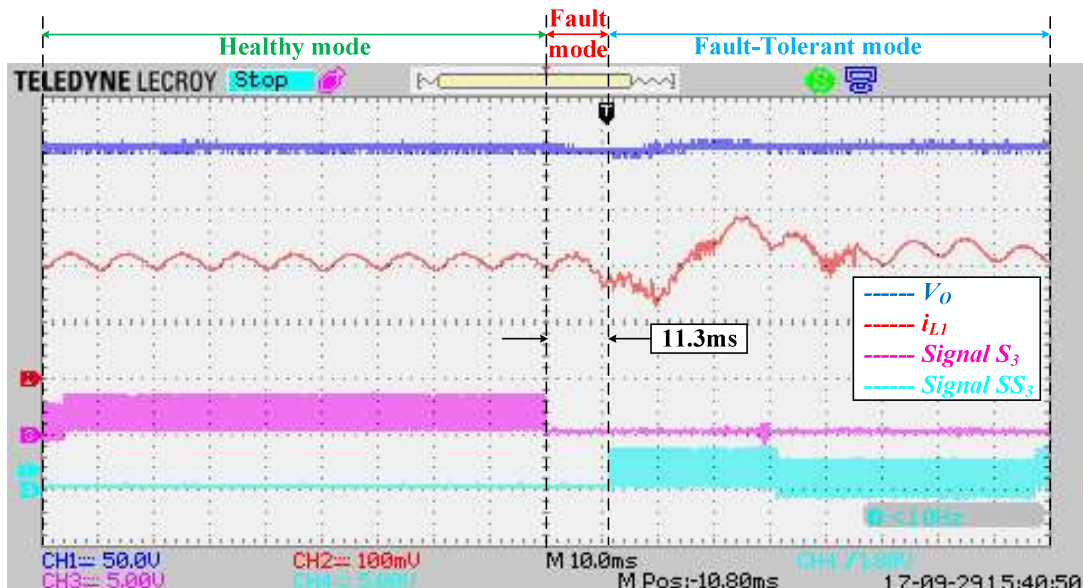


รูปที่ 7.21 ชุดทดสอบวงจรเมื่อเกิดความผิดพร่องแบบสวิตช์เปิดวงจรที่  $S_3$



รูปที่ 7.22 ผลการทดสอบวงจรเมื่อเกิดความผิดพร่องแบบสวิตช์เปิดวงจรที่  $S_3$

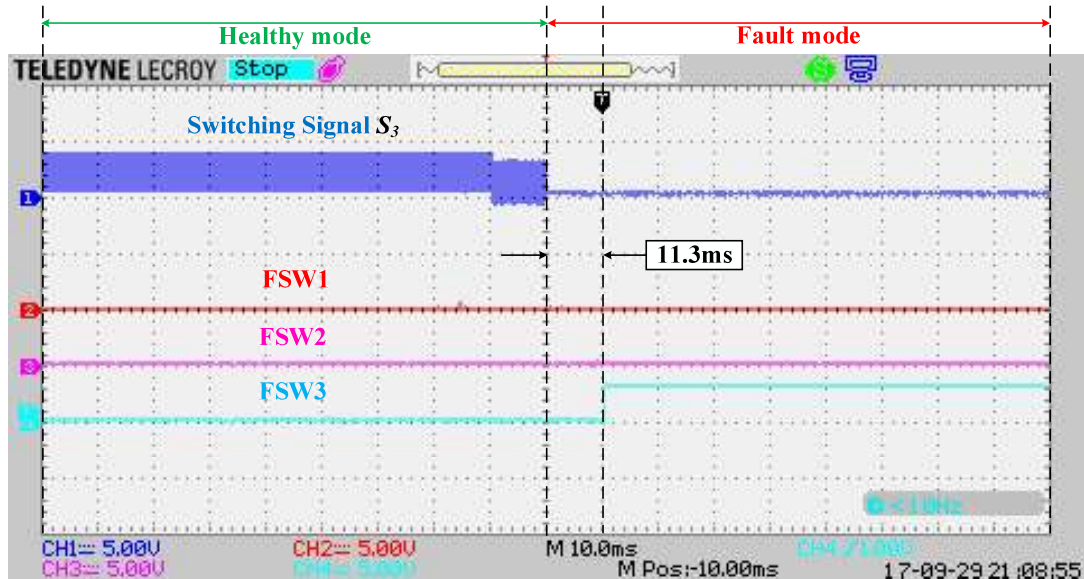
ผลการทดสอบวงจรแปลงผันกำลังไฟฟ้าแบบบูสต์เรียงต่อกันสามขั้นเมื่อเกิดความผิดพร่องแบบสวิตซ์เปิดวงจรที่  $S_3$  แสดงในรูปที่ 7.22 ในโหมดสถานะปกติ (Healthy Mode) พบร่วมกับคุณสมารถเพิ่มระดับแรงดันເອົາຕຸກ ແລະ ກະແສໄຫລຜ່ານຕັ້ງເໜີຍວຳນຳໄດ້ຕາມຄວາມຕ້ອງການ ລັງຈາກເກີດຄວາມຜິດພຽງແບບສວິຕົ້ງເປີດວັງຈາກທີ່  $S_3$  ຈະສັງເກົດໄດ້ວ່າຄ່າແຮງດັນເອົາຕຸກ ແລະ ກະແສໄຫລຜ່ານຕັ້ງເໜີຍວຳນຳທີ່ສາມຕັ້ງຂອງຊຸດທດສອບວົງຈາກມີການເປີເປີມແປງເລື່ອນ້ອຍ ໂດຍສາມາດຕຽບຄວາມຜິດພຽງແບບສວິຕົ້ງເປີດວັງຈາກທີ່  $S_3$  ໄດ້ ແລະ ສັງສົນງານການສວິຕົ້ງໃຫ້ກັບສວິຕົ້ງສໍາຮອງ  $SS_3$  ທຳມະນາດແທນທັນທີເມື່ອຕຽບຈຳບັດໄດ້ ເມື່ອພິຈາລະນາຜາກການທົດສອບວົງຈາກໃນຮູບທີ່ 7.23 ແສດງຄ່າແຮງດັນເອົາຕຸກ ແລະ ກະແສໄຫລຜ່ານຕັ້ງເໜີຍວຳນຳທີ່ສາມຕັ້ງໃນໂມດການທຳມະນາດປົກຕົວ (Healthy Mode) ລັງຈາກເກີດຄວາມຜິດພຽງທີ່ໄດ້ໃຫ້ແຮງດັນເອົາຕຸກພຸດລົດລົງຈາກການຄາຍປະຈຸຂອງຕັ້ງເກີບປະຈຸ  $C_3$  ໄປຢັ້ງໂລດຕັ້ງຕ້ານທານ ທຳໄໝສາມາດຕຽບຄວາມຜິດພຽງແບບການເປີດວັງຈາກທີ່  $S_3$  ແລະ ສັງສົນງານການສວິຕົ້ງໃຫ້ກັບສວິຕົ້ງສໍາຮອງ  $SS_3$  ໃຫ້ທຳມະນາດແທນທັນທີເມື່ອຕຽບຈຳບັດໄດ້



ຮູບທີ່ 7.23 ແຮງດັນເອົາຕຸກ ກະແສໄຫລຜ່ານຕັ້ງເໜີຍວຳນຳທີ່ໜຶ່ງ ແລະ ສັນງານການສວິຕົ້ງເມື່ອເກີດຄວາມຜິດພຽງແບບສວິຕົ້ງເປີດວັງຈາກທີ່  $S_3$

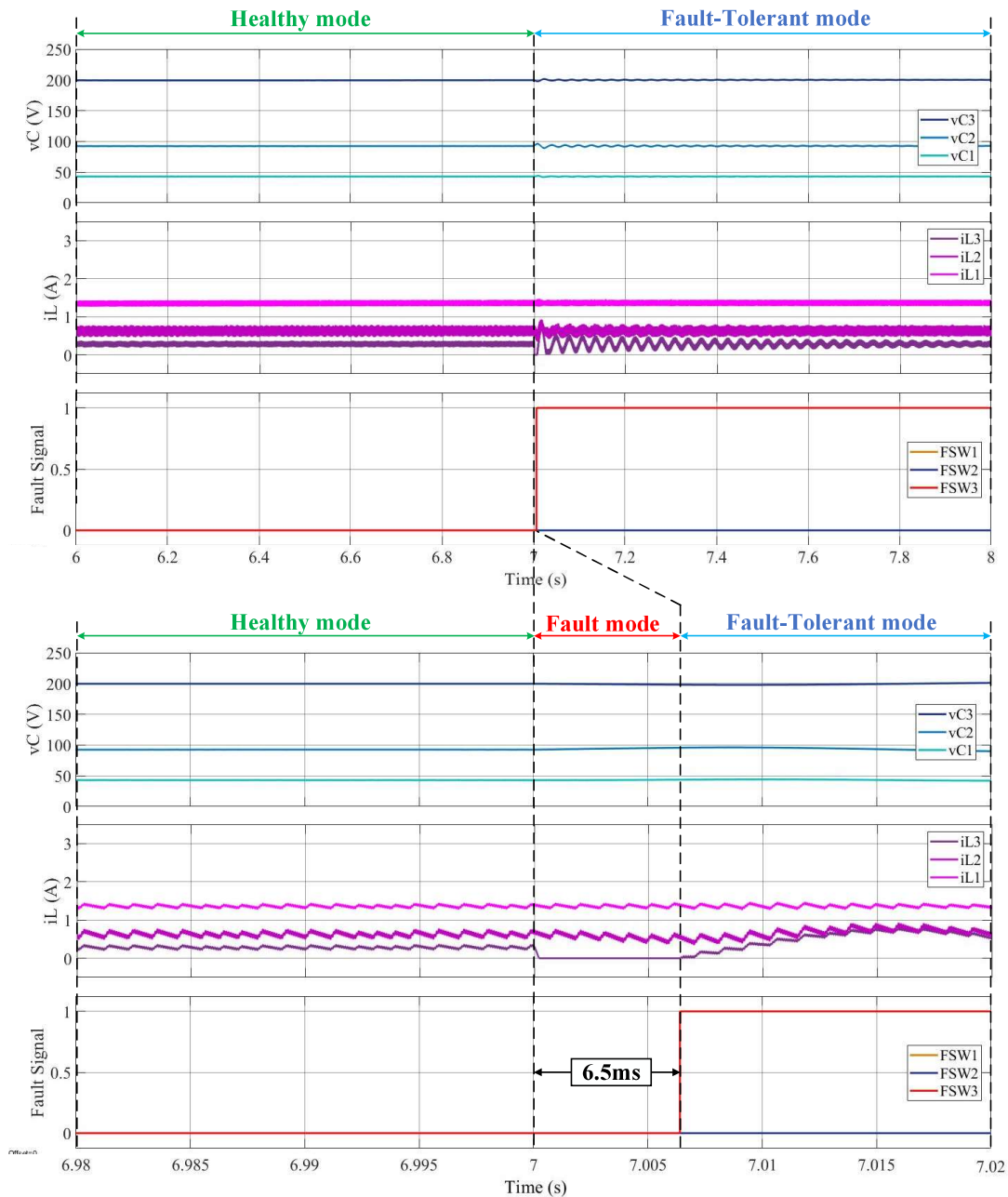
ผลการทดสอบวงจรตามຮູບທີ່ 7.24 ທີ່ແສດງສັນງານການສວິຕົ້ງ  $S_3$  ແລະ ສັນງານການຕຽບຈຳຄວາມຜິດພຽງຂອງສວິຕົ້ງທີ່ສາມຕັ້ງ  $FSW_1$ ,  $FSW_2$  ແລະ  $FSW_3$  ພບວ່າໃນໂມດການທຳມະນາດປົກຕົວອັນເກີດຄວາມຜິດພຽງ ສັນງານການສວິຕົ້ງ  $S_3$  ຍັງຄສຮ້າງສັນງານພໍລົສ ສ່ວນສັນງານການຕຽບຈຳຄວາມຜິດພຽງຂອງສວິຕົ້ງທີ່ສາມຕັ້ງມີຄ່າເປັນສູນຍື ແຕ່ໜັງຈາກເກີດຄວາມຜິດພຽງທີ່ສວິຕົ້ງ  $S_3$  ພບວ່າສັນງານການ

สวิตซ์  $S_3$  จะมีค่าเป็นศูนย์ ส่วนสัญญาณการตรวจจับความผิดพร่อง  $FSW_1$ ,  $FSW_2$  และ  $FSW_3$  จะมีค่าเป็น 0, 0 และ 1 ตามลำดับ และส่งสัญญาณการสวิตซ์ให้กับสวิตซ์สำรอง  $SS_3$  เพื่อให้ทำงานแทนทันที การตรวจจับความผิดพร่องแบบการเปิดวงจรที่  $S_3$  ใช้ระยะเวลาประมาณ 11.3ms ซึ่งทำให้วงจรแปลงผังกำลังไฟฟ้าแบบบูสต์เรียงต่อกันสามขั้นทำงานได้ต่อเนื่องอย่างมีประสิทธิผลในโหมดความคงทนต่อความผิดพร่อง



รูปที่ 7.24 สัญญาณการสวิตซ์ และสัญญาณการตรวจจับความผิดพร่องเมื่อเกิดความผิดพร่องแบบสวิตซ์เปิดวงจรที่  $S_3$

จากการทดสอบวงจรแปลงผังกำลังไฟฟ้าแบบบูสต์เรียงต่อกันสามขั้นเมื่อเกิดความผิดพร่องแบบสวิตซ์เปิดวงจรที่  $S_3$  ที่ได้แสดงไว้ข้างต้น เมื่อนำมาเปรียบเทียบกับผลการจำลองสถานการณ์แสดงในรูปที่ 7.25 พบร่วงระบบจำลองสถานการณ์สามารถตรวจจับความผิดพร่องแบบสวิตซ์เปิดวงจรที่  $S_3$  ได้เร็วกว่า โดยที่ชุดทดสอบสามารถตรวจจับความผิดพร่องได้โดยใช้เวลาประมาณ 11.3ms ส่วนผลการจำลองสถานการณ์ในการตรวจจับความผิดพร่องที่  $S_3$  โดยใช้เวลาประมาณ 6.5ms จากผลการทดสอบและผลการจำลองสถานการณ์มีความสอดคล้องกัน ซึ่งสามารถตรวจจับความผิดพร่องที่เกิดขึ้นอย่างรวดเร็วและถูกต้อง ทำให้วงจรทำงานอย่างต่อเนื่องได้อย่างมีประสิทธิผล



รูปที่ 7.25 ผลการจำลองสถานการณ์เมื่อเกิดความผิดพร่องแบบสวิตซ์เปิดวงจรที่  $S_3$

#### 7.4 สรุป

บทนี้นำเสนอผลการทดสอบของจรวจเปลงผันกำลังไฟฟ้าแบบบุสต์เรียงต่อกันสามชั้น โดยทำการทดสอบวงจรภายใต้การเปลี่ยนแปลงจุดการทำงานของแรงดันอ้างอิง แรงดันอินพุต และโหลดตัวต้านทาน อีกทั้งแสดงผลการเปรียบเทียบผลการทดสอบชุดทดสอบกับผลการจำลองสถานการณ์พบว่ามีความสอดคล้องใกล้เคียงกันทั้งในสภาวะที่ว่างคู่และสภาวะอยู่ตัว ซึ่งแสดงให้เห็นถึงประสิทธิผล

ของตัวควบคุมพัชซีที่พัฒนาขึ้นในการรักษาและดับแรงดันเอ่าพุตของวงจรแปลงผันกำลังไฟฟ้าแบบบูสต์เรียงต่อกันสามขั้นภายในตัวสถานการณ์ที่มีการเปลี่ยนแปลงจุดการทำงาน นอกเหนือจากนี้ได้นำเสนอผลการทดสอบของวงจรแปลงผันกำลังไฟฟ้าแบบบูสต์เรียงต่อกันสามขั้น เมื่อเกิดความผิดพร่องแบบสวิตซ์เปิดวงจรที่พัฒนาขึ้น สามารถตรวจจับ และระบุตำแหน่งความผิดพร่อง รวมถึงการสร้างความคงทนต่อความผิดพร่องให้กับวงจร จากการเปรียบเทียบผลการทดสอบชุดทดสอบกับผลการจำลองสถานการณ์พบว่ามีความสอดคล้องกัน ซึ่งแสดงให้เห็นถึงประสิทธิผลของการสร้างความคงทนต่อความผิดพร่องที่สามารถตรวจจับความผิดพร่องที่เกิดขึ้นอย่างรวดเร็วและถูกต้อง ทำให้งานทำงานอย่างต่อเนื่องได้อย่างมีประสิทธิผล